

"MODERNIZACE TRATI Kladno (včetně) -
Kladno-Ostrovec (včetně)"

ŽELEZNIČNÍ SPODEK

Část B.4

VSAKOVACÍ POMĚRY

květen 2020

2019 - 333

Výtisk č.:

Objednatel: **METROPROJEKT Praha a.s.**
Argentinská 1621/36
170 00 Praha 7

Zhotovitel: **GeoTec-GS, a.s.**
Chmelová 2920/6
106 00 Praha 10

Název zakázky zhotovitele: Kladno – Ostrovec, GTP, HGP a STP

Zakázkové číslo zhotovitele: 2019 - 333

Úkol / název úkolu: **Modernizace trati Kladno (včetně) – Kladno-Ostrovec (včetně)**

Název zprávy: **Vsakovací poměry**

Praha, květen 2020

Zpracovala: Mgr. Valérie Wojnarová

Odpovědný řešitel: Mgr. Aleš Kubát

Schválil: Mgr. Filip Dudík
ředitel společnosti

OBSAH:

1. ÚVOD.....	4
2. ROZSAH A METODIKA PRŮZKUMNÝCH PRACÍ	4
2.1 PRŮZKUMNÉ VRTNÉ PRÁCE	4
2.2 VSAKOVACÍ ZKOUŠKY.....	5
3. PŘÍRODNÍ POMĚRY	7
3.1 GEOMORFOLOGICKÉ A KLIMATICKÉ POMĚRY	7
3.2 HYDROLOGICKÉ POMĚRY	7
3.3 GEOLOGICKÉ POMĚRY	7
3.4 HYDROGEOLOGICKÉ POMĚRY	7
4. VÝSLEDKY PRACÍ	8
4.1 PRŮZKUMNÉ VRTNÉ PRÁCE	8
4.2 VSAKOVACÍ ZKOUŠKY.....	8
5. ZÁVĚR	9

Tabulky v textu:

- Tabulka č. 1: Přehled navržených vsakovacích objektů a k nim přiřazených vrtů
Tabulka č. 2: Přehled nově provedených průzkumných vsakovacích sond
Tabulka č. 3: Výsledné koeficienty vsaku

Přílohy:

- Příloha č. 1: Situace vsakovacích sond
Příloha č. 2: Geologická dokumentace sond
Příloha č. 3: Protokoly hydrodynamických zkoušek

1. ÚVOD

Základní údaje o zakázce

Název stavby:	Modernizace trati Kladno (včetně) – Kladno-Ostrovec (včetně)
Investor:	METROPROJEKT Praha a.s., Argentinská 1621/36, Praha 7, 170 00
Stupeň dokumentace:	Dokumentace pro stavební povolení (DSP)
Charakteristika stavby:	Dopravní liniová stavba
Odvětví:	Železniční doprava
Místo stavby:	Kladno Stávající železniční trať v úseku Kladno (včetně) – Kladno-Ostrovec (včetně)
Kraj:	Středočeský
Katastrální území:	Kladno, Kročehlavy
Předmět plnění:	Provedení vsakovacích zkoušek a posouzení vsakovacích poměrů v prostoru uvažovaných vsakovacích objektů v rámci modernizace trati Kladno (včetně) – Kladno-Ostrovec (včetně).
Účel průzkumu:	Ověření hladiny podzemní vody a možnosti vsakování srážkových vod v místech vsakovacích objektů navržených v rámci zkapacitnění zájmové trati a v rámci stavby mostu v km 1,576.
Zpracoval:	Mgr. Valérie Wojnarová <i>zpracovatel je držitelem odpovědný řešitel je držitelem osvědčení odborné způsobilosti projektovat, provádět a vyhodnocovat geologické práce v oborech hydrogeologie, sanační geologie č. 2168/2012 vydané MŽP ČR, odborem geologie</i>

2. ROZSAH A METODIKA PRŮZKUMNÝCH PRACÍ

Rozsah prací, tj. počet a umístění vrtů pro realizaci vsakovacích zkoušek odsouhlasil objednatel. Hloubky průzkumných vrtů byly navrženy po dohodě s projektantem s cílem ověřit geologii a filtrační charakteristiky horninového prostředí v místě vsakovacích objektů navržených v rámci zkapacitnění zájmové trati a v rámci stavby mostu v km 1,576.

2.1 PRŮZKUMNÉ VRTNÉ PRÁCE

V zájmovém území bylo v období od 29.1. do 24.2. 2020 realizováno, mj. pro průzkum vsakování, 10 průzkumných vrtů (označené v aktuálním GTP J205, J252 až

J260) vrtným průměrem 156 mm. Sondy realizovala firma Stavební geologie – IGHG, spol. s r.o. Vrtly byly dočasně vystrojeny PVC pažnicemi o průměru 110 mm a obsypem (praný štěrk frakce 4-8 mm) zapažnicového prostoru v poloze zasakování. Hladina podzemní vody nebyla zastižena v žádném z vrtů.

Umístění vrtů je zobrazeno v příloze č. 1

Geologická dokumentace průzkumných vrtů se nachází v příloze č. 2.

2.2 VSAKOVACÍ ZKOUŠKY

Na základě požadavku objednatele bylo potřeba ověřit možnost zasakování srážkové vody z kanalizace, svodného potrubí a z komunikace do horninového prostředí. Za účelem posouzení vhodnosti geologického prostředí pro zasakování srážkových vod, bylo na lokalitě realizováno 10 vsakovacích zkoušek.

Vsakovací zkoušky s proměnnou hladinou vody byly provedeny do dočasně vystrojených průzkumných jádrových sond HJ205, HJ252, HJ253, HJ254, HJ255, HJ256, HJ257, HJ258, HJ259 a HJ260 ve dnech 30.1.2020 až 28.2.2020. Realizace, vyhodnocení vsakovacích zkoušek a výpočet koeficientu vsaku (kv) byly provedeny v souladu s ČSN 75 9010, Z1.

V tabulce č. 1 je uveden název vrtu s provedenou vsakovací zkouškou (označeny pro účely vsakovací zkoušky HJ205 a HJ252 až HJ260), označení vsakovací lokality a v jaké hloubce se nachází vyústění svodného potrubí nebo kanalizace, z kterého se srážková voda bude zasakovat.

Tabulka č. 1: Přehled navržených vsakovacích objektů a k nim přiřazených vrtů

Název sondy	Umístění a navržená hloubka vsakovacího objektu	Hloubka a typ vyústění drenážního systému
HJ205	Most v km 1,576 (podjezd)	Niveleta projektované silnice cca 4,5 m pod terénem
HJ252	Jutská ul. hl. 4 m pod terénem	vyústění svodného potrubí 3 m pod stávající TK
HJ253	P+R1 hl. 5 m	vyústění kanalizace 3,6 m pod stávajícím terénem
HJ254	P+R2 hl. 4 m	vyústění kanalizace 2,8 m pod stávajícím terénem
HJ255	Přednádraží ul. hl. 5 m pod terénem	vyústění kanalizace 3,8 m pod stávajícím terénem
HJ256	Wolkerova ul. hl. 4 m pod terénem	vyústění příkopu 1,8 m pod stávající TK
HJ257	Ul. Petra Bezruče hl. 5 m pod terénem	vyústění kanalizace 3,5 m pod stávajícím terénem
HJ258	zast. Kladno město hl. 4m pod terénem	vyústění svodného potrubí 3 m pod stávající TK
HJ259	Retence km 3,400 hl. 6 m pod terénem	vyústění kanalizace 5,1 m pod stávajícím terénem
HJ260	Žst. Kladno - Ostrovec hl. 3m pod terénem	vyústění kanalizace 2 m pod stávajícím terénem

Souřadnice a hloubky vrtů a datum provedení vsakovací zkoušky jsou uvedeny v tabulce č. 2.

Tabulka č. 2: Přehled nově provedených průzkumných vsakovacích sond

Název sondy	Hloubka [m]	Souřadnice JTSK, B.p.v. /m n.m./			Datum realizace
		X	Y	Z	
HJ205	8.0	1 034 693.68	765 233.80	410.30	28.2.2020
HJ252	5.5	1 036 233.01	763 825.04	406.54	14.2.2020
HJ253	5.5	1 035 627.97	763 855.86	409.21	12.2.2020
HJ254	5.5	1 035 715.91	763 779.23	407.66	12.2.2020
HJ255	6.5	1 035 453.91	763 915.90	407.87	12.2.2020
HJ256	5.5	1 035 370.40	764 436.96	410.55	12.2.2020
HJ257	6.5	1 034 692.84	765 118.95	407.89	14.2.2020
HJ258	7.0	1 033 628.94	765 878.28	407.35	28.2.2020
HJ259	7.3	1 033 132.45	765 818.67	394.25	30.1.2020
HJ260	4.5	1 033 114.85	765 551.02	385.32	28.2.2020

Měření hladin bylo prováděno elektronickými pásmy s odporovou signalizací s přesností $\pm 5\%$ měřené hodnoty. Kontinuální měření bylo prováděno hladinoměry s automatickým záznamem Solinst Junior M10 s intervalem měření 1 minuta. Délka vsakovací zkoušky se odvíjela od doby trvání zásaku nálevu. Průběhy poklesu hladiny během vsakovacích zkoušek jsou znázorněny v grafech v příloze č. 3.

Z průběhu vsakovacích křivek byl interpretován koeficient vsaku (k_v) podle vztahu:

$$k_v = Q_{zk} / A_{zk}$$

kde je:

k_v koeficient vsaku v $m \cdot s^{-1}$

Q_{zk} přítok vody do průzkumného vrtu během zkoušky v $m^3 \cdot s^{-1}$

A_{zk} zkušební vsakovací plocha během zkoušky v m^2

Jelikož byla vsakovací zkouška s proměnnou hladinou vody kratší než 24 hod, bylo nutné použít součinitel spolehlivosti γ_t vyjadřující vliv doby trvání zkoušky.

Koeficient vsaku k_v se stanoví podle vztahu:

$$k_v = \gamma_t * k_{v(t)}$$

kde je:

k_v koeficient vsaku v $m \cdot s^{-1}$,

$k_{v(t)}$ koeficient vsaku v $m \cdot s^{-1}$, stanovený po dobu trvání zkoušky t

γ_t součinitel spolehlivosti

3. PŘÍRODNÍ POMĚRY

3.1 GEOMORFOLOGICKÉ A KLIMATICKÉ POMĚRY

Geomorfologické a klimatické poměry jsou popsány v souhrnné zprávě aktuálního GTP v části „A“.

3.2 HYDROLOGICKÉ POMĚRY

Zájmového území spadá podle Základní vodohospodářské mapy do povodí Dřetovického potoka s číslem hydrologického pořadí 1-12-02-0310-0-00, pouze samotný poč. trasy spadá do povodí Lidického potoka s číslem hydrologického pořadí 1-12-02-0270-0-00. Oba toky se postupně vlévají do Zákolanského potoka, který je levostranným přítokem Vltavy.

3.3 GEOLOGICKÉ POMĚRY

Geologické poměry jsou podrobně popsány v souhrnné zprávě aktuálního GTP v části „A“.

3.4 HYDROGEOLOGICKÉ POMĚRY

Většina zájmového území je součástí hydrogeologického rajonu č. 5140 Kladenská pánev, pouze samotný poč. trasy náleží do hydrogeologického rajónu č. 6250 Proterozoikum a paleozoikum v povodí přítoků Vltavy.

Hydrogeologie území je dána geologickou stavbou. Zvodnění je vázáno především na křídové uloženiny. V cenomanském kolektoru se vytváří volná, nebo napjatá zvodeň v závislosti na mocnosti nadložního spodnoturonského izolátoru. Podzemní voda je vázána na pukliny a puklinové zóny, protože vlastní hornina je pro vodu prakticky nepropustná. Pukliny jsou z velké části zajílované, a tedy množství a hloubka podzemní vody je závislá na délce, směru a výplně pukliny. Hladina podzemní vody je více méně konformní s reliéfem. Vydatnosti těchto jímaných vod se pohybují v desetinách l/s.

Ve kvartérních sedimentech, se vyskytuje průlinová voda úzce závislá na atmosférických srážkách. Vzhledem k jílovité povaze kvartérních sedimentů s funkcí izolátoru je její výskyt lokální, bez transportu na dlouhé vzdálenosti.

Během průzkumných prací realizovaných v rámci aktuálního GTP nebyla podzemní voda zastižena v žádném inženýrskogeologickém vrtu.

Z hlediska ochrany podzemních vod zájmové území nespadá do Chráněné oblasti přirozené akumulace podzemních vod (CHOPAV) ani neleží v inundačním území. Ochranné pásmo II. stupně vodního podzemního zdroje Velká Dobrá studny se nachází jižně od trati, svým SSV cípem hraničí s křížením žel. tratí a ulicí Wolkerova, cca km staničení 28,500. Předmětný úsek trati tímto pásmem neprochází, ale průzkumné práce byly v tomto pásmu realizovány. Vzhledem k málo propustné geologii a hloubce hladiny podzemní vody pod niveletou plánovaného zářezu, vliv na kvalitu podzemních vod nepředpokládáme.

4. VÝSLEDKY PRACÍ

4.1 PRŮZKUMNÉ VRTNÉ PRÁCE

Dle výsledků sondážních prací byly potvrzeny a doplněny archivní informace o geologických poměrech. Ve všech sondách byla potvrzena poloha navážek, 0.7 m až 2.8 m mocná, pod kterou se nacházely různě mocné kvartérní sedimenty charakteru jílu písčitých až šterkovitých. Podloží bylo průzkumnými sondami zastiženo ve formě slínovců písčitých, zcela až mírně zvětralých na zeminy charakteru výše popsaných. Podloží se nachází převážně v hloubce již 3.0 až 4.0 m pod terénem. Hladina podzemní vody nebyla zastižena v žádné sondě.

Geologická dokumentace jednotlivých sond tvoří přílohu č. 2.

4.2 VSAKOVACÍ ZKOUŠKY

Délka jednotlivých vsakovacích zkoušek se odvíjela od doby trvání zásaku nálevu. Voda byla nalita u všech průzkumných sond do přibližných hloubek tak, aby bylo otestováno horninové prostředí pod vyústěním kanalizace a svodného porubí dle tabulky č.1. Poté byl automaticky měřen pokles její hladiny až v délce 24 hodin. Vzhledem k málo propustnému prostředí se druhý nálev opakoval pouze u 4 z 10 vsakovacích zkoušek.

Výsledné koeficienty vsaku (ve smyslu ČSN 75 9010) jsou přehledně uvedeny v tab. 3. Pro detaily o průběhu vsakovacích zkoušek a výpočtů odkazujeme do přílohy č. 3

Uvedené koeficienty vsaku lze použít pro orientační projektování vsakovacích zařízení v daných lokalitách a vzhledem

Tabulka č. 3: Výsledné koeficienty vsaku

Název sondy	Hloubka [m]	Umístění	Z terén [m n.m.]	Testovaný hloubkový interval [m p.t.]	Interpretovaný koeficient vsaku kv [m/s]
HJ205	8.0	Most v km 1,576 (podjezd)	410.30	5,9 - 6,8	7,81E-07
HJ252	5.5	Jutská ul. hl. 4 m pod terénem	406.54	3,3 - 4,0	6,42E-07
HJ253	5.5	P+R1 hl. 5 m	409.21	3,0 - 4,0	1,22E-06
HJ254	5.5	P+R2 hl. 4 m	407.66	3,4 - 4,5	3,18E-07
HJ255	6.5	Přednádraží ul. hl. 5 m pod terénem	407.87	4,4 - 5,0	1,72E-07
HJ256	5.5	Wolkerova ul. hl. 4 m pod terénem	410.55	3,8 - 4,5	2,41E-07
HJ257	6.5	Ul. Petra Bezruče hl. 5 m pod terénem	407.89	4,0 - 5,0	1,02E-06
HJ258	7.0	zast. Kladno město hl. 4m pod terénem	407.35	5,2 - 5,9	6,27E-07
HJ259	7.3	Retence km 3,400 hl. 6 m pod terénem	394.25	5,0 - 6,5	9,63E-07
HJ260	4.5	Žst. Kladno - Ostrovec hl. 3m pod terénem	385.32	2,2 - 3,4	1,66E-06

Z reprezentativního intervalu poklesu hladiny vsakované vody byl u většiny sond stanoven koeficient vsaku v řádu 10^{-7} m/s. Tři případy s koeficientem vsaku v řádu 10^{-6} m/s se pohybovaly na spodním intervalu daného řádu, a proto pro zastiženou geologii (písčitý slínovec zcela zvětralý na zeminu char. jílu štěrkovitého, písčitý slínovec silně zvětralý až navětralý) je řád 10^{-7} m/s hodnověrnější, viz tabulka č. 3. Z hlediska propustnosti charakterizujeme testované horninové prostředí jako **slabě propustné** (sensu Jetel, 1973). Podmínky pro vsakování do prostředí zemin charakteru jílu štěrkovitý a hornin charakteru písčitý slínovec zcela zvětralý, silně až mírně zvětralý lze označit za spíše nevhodné.

V případě navržených vsakovacích zařízení v zeminách charakteru jílu štěrkovitého a v horninách písčitého slínovce navrhujeme součinitel bezpečnosti vsaku $f = 3$ z důvodu jejich slabé propustnosti.

5. ZÁVĚR

V předkládané zprávě prezentujeme výsledky průzkumu vsakovacích poměrů na akci „Modernizace trati Kladno (včetně) – Kladno-Ostrovec (včetně)“. Budou sloužit jako jeden z podkladů pro zpracování dokumentace stavby ve stupni dokumentace pro stavební povolení (DSP).

Výsledky a vyhodnocení průzkumu jsou zpracovány a komentovány především v kapitole č. 4 v přehledné tabulce a grafech v příloze č. 3. Nejdůležitější poznatky a výsledky shrnujeme do následujících bodů:

- hladina podzemní vody nebyla zastižena v žádném inženýrskogeologickém vrtu v rámci aktuálního GTP.
- ve všech 10 testovaných vsakovacích sondách byla zastižena shodná geologie
- koeficient vsaku pro zeminy charakteru jílu štěrkovitý a horniny charakteru písčitý slínovec zcela zvětralý, silně až mírně zvětralý byl vyhodnocen v řádu 10^{-7} m/s.
- podmínky pro zasakování do zastižené geologie můžeme označit jako spíše nevhodné z důvodu slabé propustnosti zemin a hornin. V případě umístění vsakovacího zařízení do hornin charakteru písčitého slínovce navrhujeme vzhledem k jejich slabé propustnosti součinitel bezpečnosti vsaku $f = 3$.
- upozorňujeme, že návrh vsakovacích zařízení by měl být v souladu s požadavky ČSN 75 9010. Již při předběžném návrhu vsakovacích objektů je třeba s ohledem na citovanou normu zohlednit zejména tyto detaily:
- součástí navrženého vsakovacího zařízení by měl být lapač splavenin na vtok s možností pravidelného čištění pro zajištění dostatečné životnosti objektu (omezení kolmatace, která snižuje účinnost vsakovacího zařízení).
- dle ČSN 75 9010, čl. 5.1.2 lze srážkové vody z pozemních komunikací pro motorová vozidla kategorizovat jako tzv. srážkové povrchové vody podmíněčně přípustné a vody z komunikací pro pěší a cyklisty jako srážkové vody přípustné.
- dle čl. 5.2.3 téže normy je nutno při návrhu vsakování aplikovat vhodný způsob předčištění dle druhu znečištění a typu vsakovacího zařízení.

PŘÍLOHOVÁ ČÁST**Obsah:**

Příloha č. 1: Situace vsakovacích sond

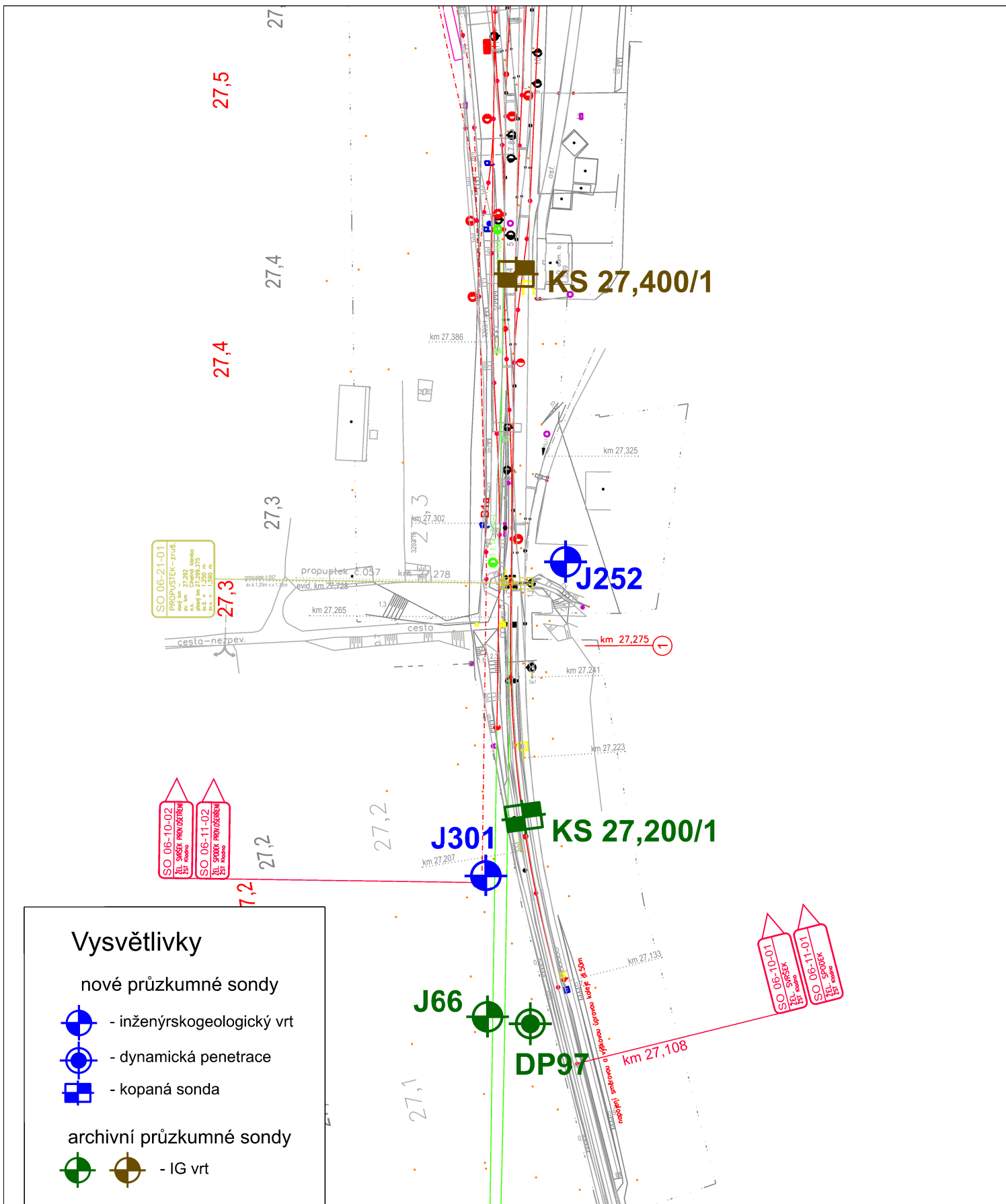
Příloha č. 2: Geologická dokumentace sond

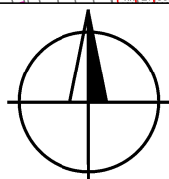
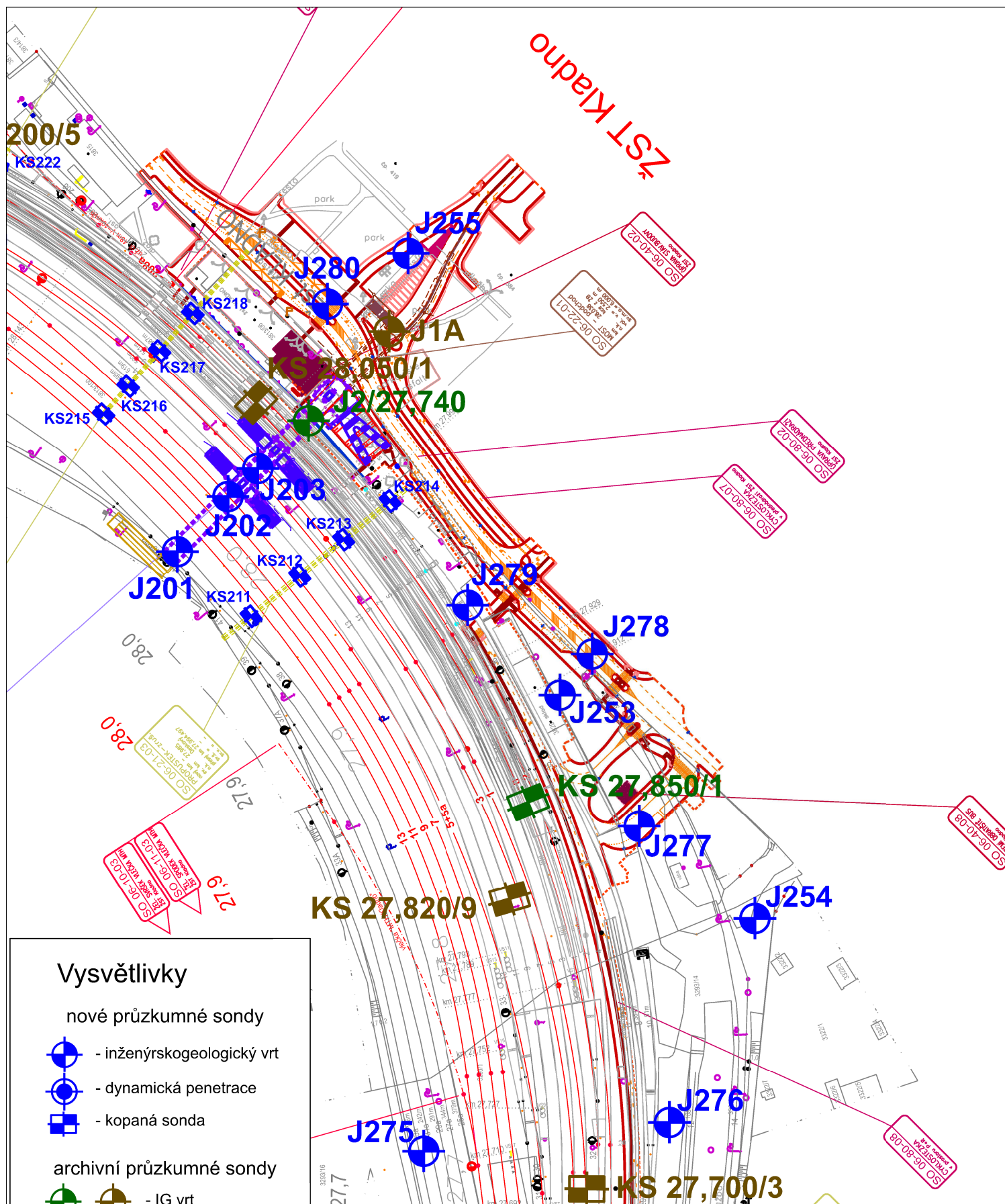
Příloha č. 3: Protokoly hydrodynamických zkoušek

Název zakázky:	Kladno – Ostrovec, GTP, HGP a STP		
Číslo zakázky:	2019-333	Objednatel:	METROPROJEKT Praha a.s.
Datum:	05 / 2020	Zpracoval:	Mgr. Valérie Wojnarová
Počet stran:	29	Schválil:	Mgr. Filip Dudík

SITUACE VSAKOVACÍCH SOND

Název zakázky:	Kladno – Ostrovec, GTP, HGP a STP		
Číslo zakázky:	2019-333	Objednatel:	METROPROJEKT Praha a.s.
Datum:	05 / 2020	Zpracoval:	Mgr. Valérie Wojnarová
Počet stran:	6	Schválil:	Mgr. Filip Dudík





Měřítko 1 : 2 000
Situace vsakovacích sond

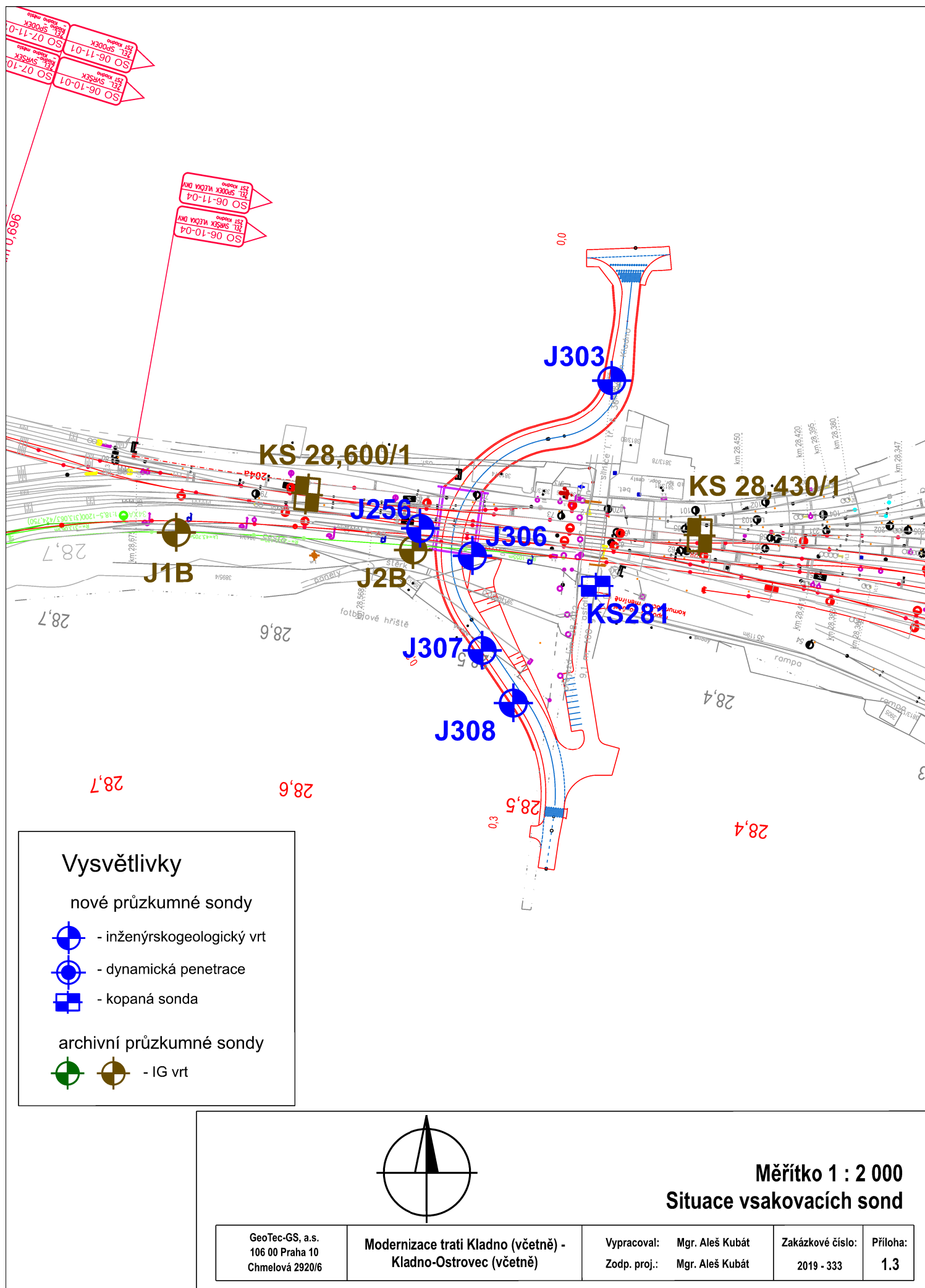
GeoTec-GS, a.s.
106 00 Praha 10
Chmelová 2920/6

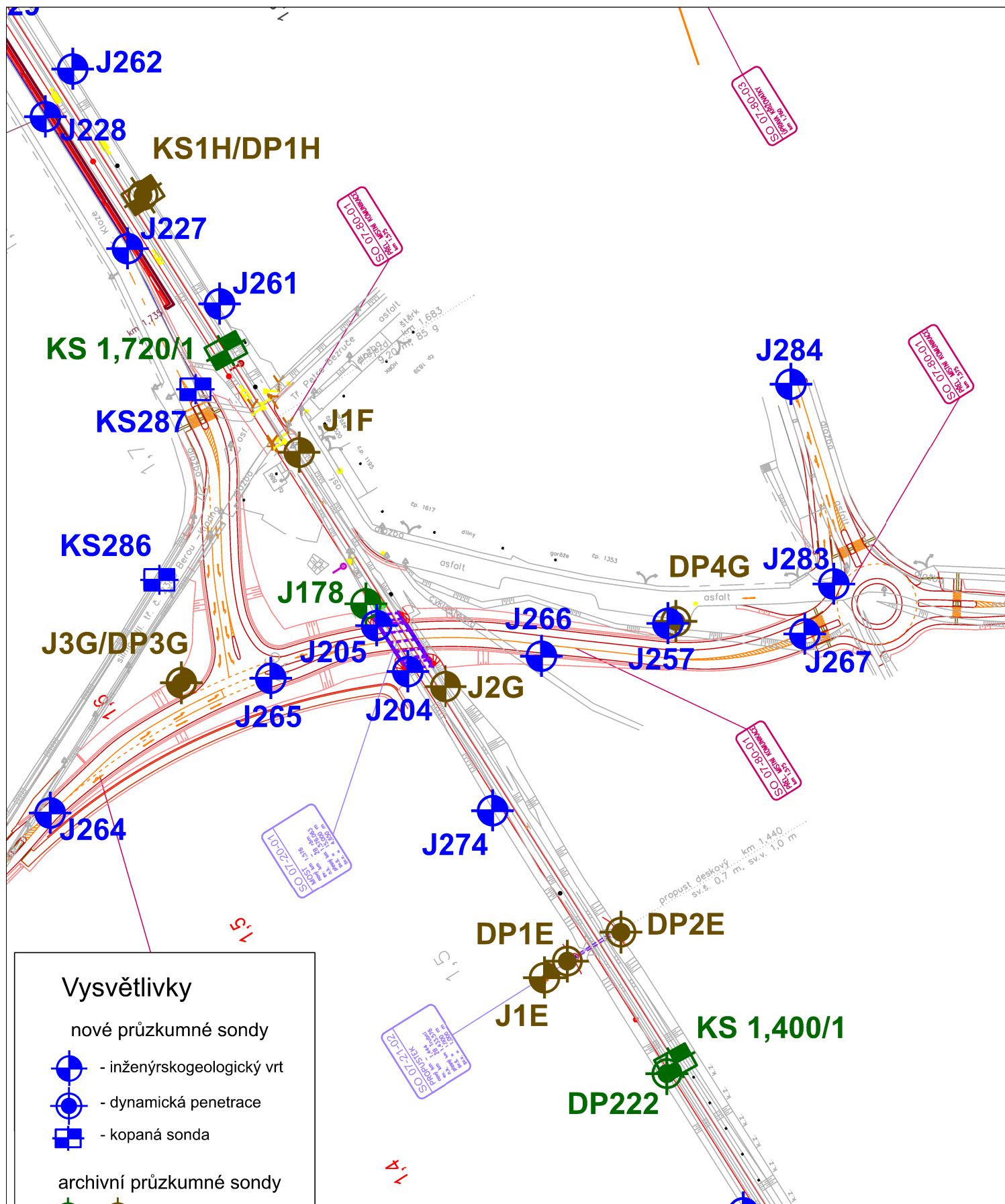
Modernizace trati Kladno (včetně) -
Kladno-Ostrovec (včetně)

Vypracoval: Mgr. Aleš Kubát
Zodp. proj.: Mgr. Aleš Kubát

Zakázkové číslo:
2019 - 333

Příloha:
1.2





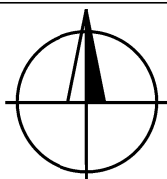
Vysvětlivky

nové průzkumné sondy

- inženýrskogeologický vrt
- dynamická penetrace
- kopaná sonda

archivní průzkumné sondy

- IG vrt



Měřítko 1 : 2 000
Situace vsakovacích sond

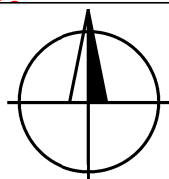
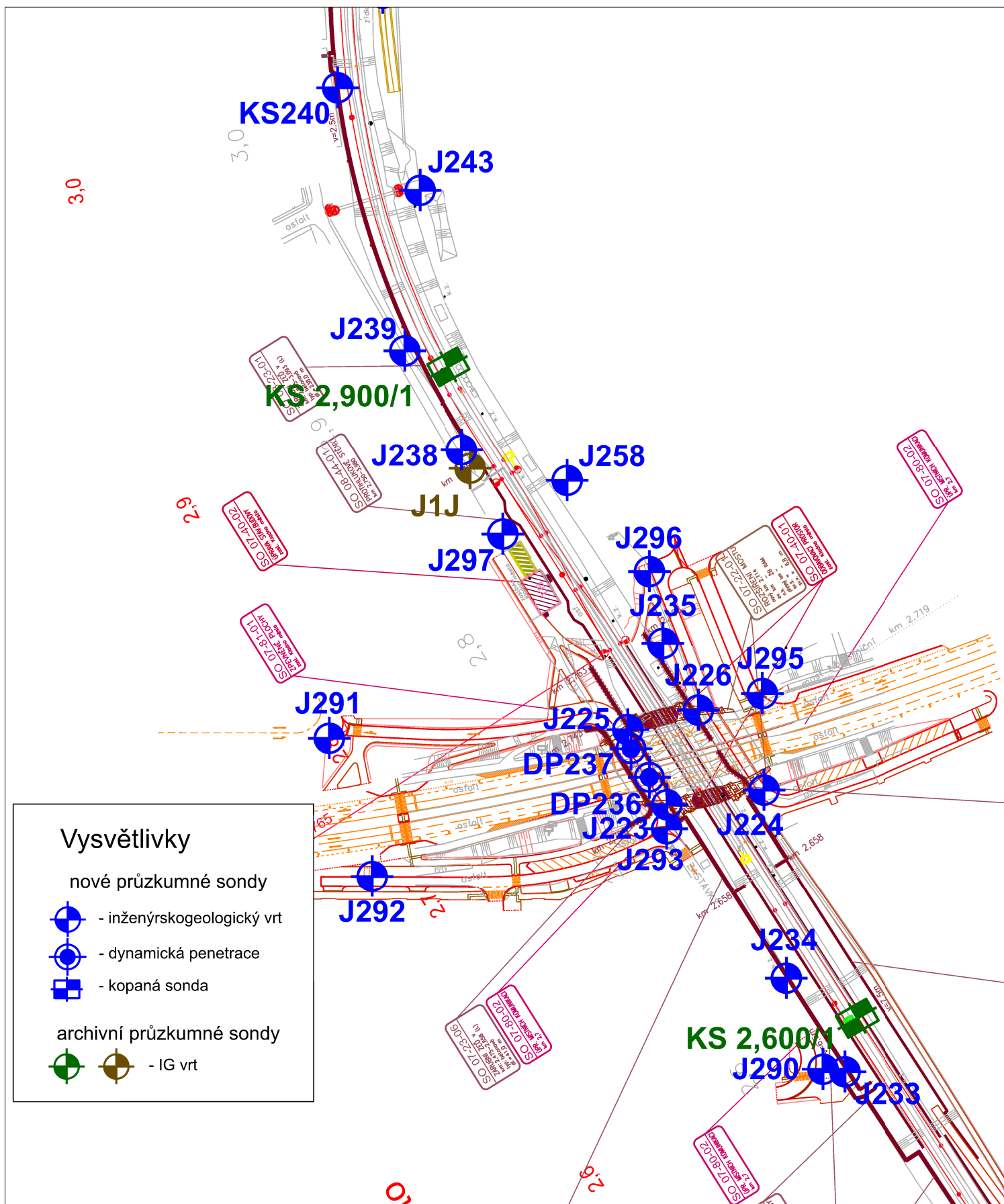
GeoTec-GS, a.s.
106 00 Praha 10
Chmelová 2920/6

Modernizace trati Kladno (včetně) -
Kladno-Ostrovec (včetně)

Vypracoval: Mgr. Aleš Kubát
Zodp. proj.: Mgr. Aleš Kubát

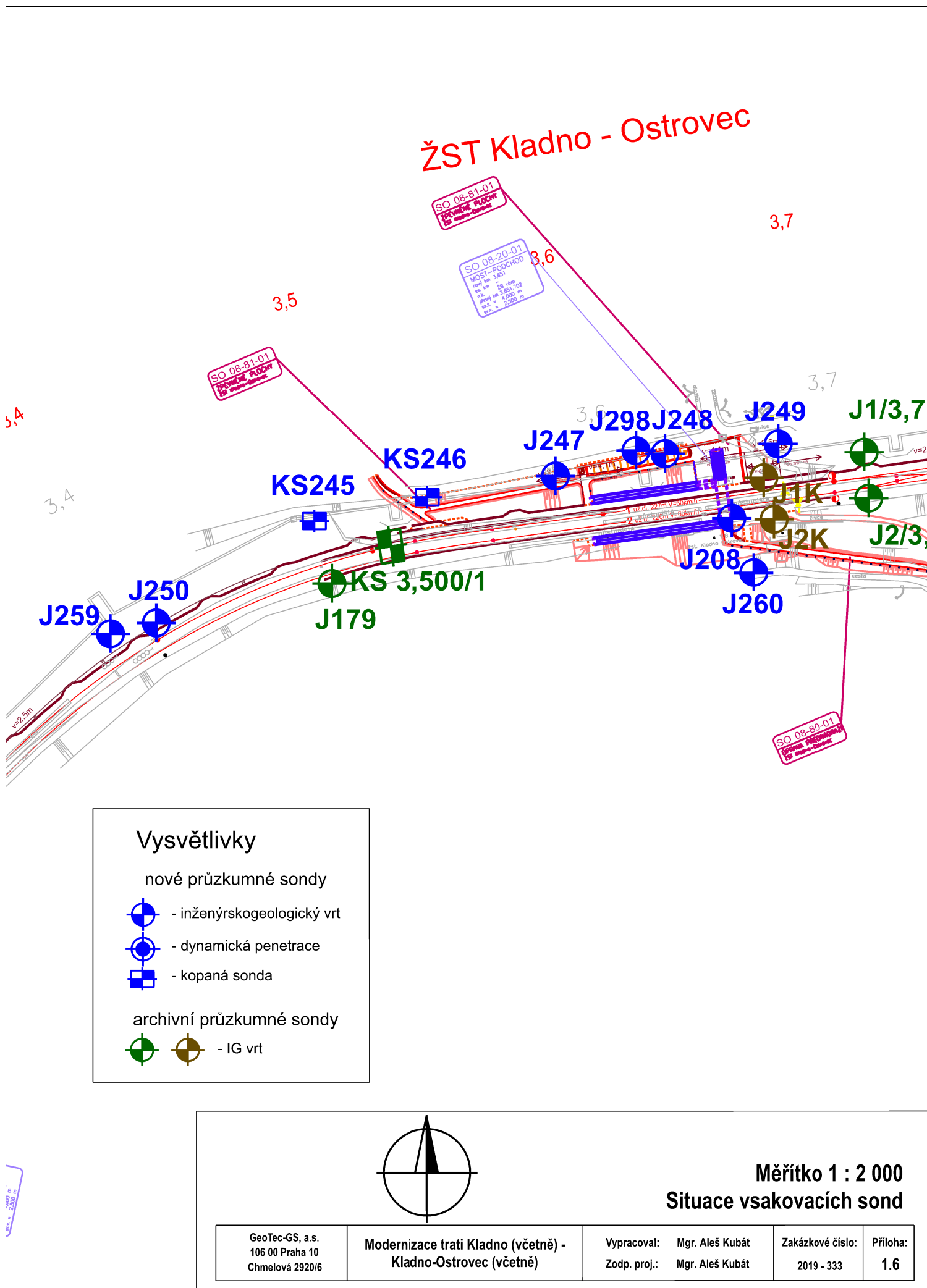
Zakázkové číslo:
2019 - 333

Příloha:
1.4



Měřítko 1 : 2 000
Situace vsakovacích sond

GeoTec-GS, a.s. 106 00 Praha 10 Chmelová 2920/6	Modernizace trati Kladno (včetně) - Kladno-Ostrovec (včetně)	Vypracoval: Mgr. Aleš Kubát Zodp. proj.: Mgr. Aleš Kubát	Zakázkové číslo: 2019 - 333	Příloha: 1.5
---	---	---	--------------------------------	-----------------



GEOLOGICKÁ DOKUMENTACE SOND

Název zakázky:

Kladno – Ostrovec, GTP, HGP a STP

Číslo zakázky:

2019-333

Objednatel:

METROPROJEKT Praha a.s.

Datum:

05 / 2020

Zpracoval:

Mgr. Valérie Wojnarová

Počet stran:

10



Schválil:

Mgr. Filip Dudík

GeoTec-GS, a.s. Chmelova 2920/6 Praha 10, 106 00				GEOLOGICKÁ DOKUMENTACE VRTU				Označení vrtu J205																																																																																												
Název akce Kladno - Ostrovec, GTP, HGP a STP																																																																																																				
Zakázka číslo 2019-333		Vrtáno 19. 02. 2020		Výška (m n. m.) B.p.v. Z = 410,30		Souřadnice S-JTSK Y = 765 233,80 X = 1034 693,68																																																																																														
Objednatel METROPROJEKT Praha a.s.				HPV naražená Nezastižena		HPV ustálená Nezastižena																																																																																														
						Stránka 1 z 1																																																																																														
								GEOLOGICKÝ POPIS ZEMIN A HORNIN																																																																																												
<table><tr><td>0</td><td>Ant</td><td>410,05</td><td></td><td>0,25</td><td></td><td>F3 MSY</td><td>I</td><td>P</td><td rowspan="5">Navážka - hlína písčítá - tmavě šedá až černá, pevná, drolivá, písčítá frakce jemnozrnná až prachovitá, s kameny velikosti do 2 cm, obsahu cca 15 %, s rostlinnými zbytky, s příměsí škváry Navážka - písek hlinitý - šedohnědý, středně ulehlý, jemnozrnný až prachovitý, s úlomky velikosti do 7 cm, obsahu do 20 % Jíl s extrémně vysokou plasticitou - hnědý a hnědošedý, pevný (Op>350 kPa), slabě písčitý, písčítá frakce jemnozrnná, s úlomky velikosti do 1 cm, obsahu do 10 %, s kořeny Písčitý slínovec zcela až silně zvětralý - žlutošedý, zvětralý na zeminu charakteru jílu štěrkovitého pevné konzistence, písčitého, písčítá frakce jemnozrnná až prachovitá, úlomky velikosti do 6 cm, které lze lámat v ruce nebo snadno rozbíjet kladivem Písčitý slínovec mírně zvětralý - žlutošedý, úlomkovitě a kamenitě rozpadavý na úlomky a kameny velikosti do 15 cm, které lze snadno až středně těžce rozbíjet kladivem, na puklinách limonitizovaný, porušen technologií vrtání Písčitý slínovec navětralý - žlutošedý, úlomkovitě a kamenitě rozpadavý na úlomky a kameny velikosti až 20 cm, které lze středně těžce rozbíjet kladivem, na puklinách limonitizovaný, porušen technologií vrtání</td></tr><tr><td>1</td><td>Q</td><td>409,80</td><td></td><td>0,50</td><td></td><td>S4 SMY</td><td>I</td><td>SU</td></tr><tr><td>1</td><td></td><td>409,30</td><td></td><td>1,00</td><td></td><td>F8 CE</td><td>I</td><td>P</td></tr><tr><td>2</td><td></td><td>408,80</td><td></td><td>1,50</td><td></td><td>R6-R5</td><td>I</td><td>P</td></tr><tr><td>3</td><td></td><td></td><td></td><td></td><td></td><td>R4</td><td>II</td><td></td></tr><tr><td>4</td><td>K</td><td>406,00</td><td></td><td>4,30</td><td></td><td></td><td></td><td></td></tr><tr><td>5</td><td></td><td></td><td></td><td></td><td></td><td></td><td></td><td></td></tr><tr><td>6</td><td></td><td></td><td></td><td></td><td></td><td>R3-R4</td><td>II</td><td></td></tr><tr><td>7</td><td></td><td></td><td></td><td></td><td></td><td></td><td></td><td></td></tr><tr><td>8</td><td></td><td>402,30</td><td></td><td>8,00</td><td></td><td></td><td></td><td></td></tr></table>								0	Ant	410,05		0,25		F3 MSY	I	P	Navážka - hlína písčítá - tmavě šedá až černá, pevná, drolivá, písčítá frakce jemnozrnná až prachovitá, s kameny velikosti do 2 cm, obsahu cca 15 %, s rostlinnými zbytky, s příměsí škváry Navážka - písek hlinitý - šedohnědý, středně ulehlý, jemnozrnný až prachovitý, s úlomky velikosti do 7 cm, obsahu do 20 % Jíl s extrémně vysokou plasticitou - hnědý a hnědošedý, pevný (Op>350 kPa), slabě písčitý, písčítá frakce jemnozrnná, s úlomky velikosti do 1 cm, obsahu do 10 %, s kořeny Písčitý slínovec zcela až silně zvětralý - žlutošedý, zvětralý na zeminu charakteru jílu štěrkovitého pevné konzistence, písčitého, písčítá frakce jemnozrnná až prachovitá, úlomky velikosti do 6 cm, které lze lámat v ruce nebo snadno rozbíjet kladivem Písčitý slínovec mírně zvětralý - žlutošedý, úlomkovitě a kamenitě rozpadavý na úlomky a kameny velikosti do 15 cm, které lze snadno až středně těžce rozbíjet kladivem, na puklinách limonitizovaný, porušen technologií vrtání Písčitý slínovec navětralý - žlutošedý, úlomkovitě a kamenitě rozpadavý na úlomky a kameny velikosti až 20 cm, které lze středně těžce rozbíjet kladivem, na puklinách limonitizovaný, porušen technologií vrtání	1	Q	409,80		0,50		S4 SMY	I	SU	1		409,30		1,00		F8 CE	I	P	2		408,80		1,50		R6-R5	I	P	3						R4	II		4	K	406,00		4,30					5									6						R3-R4	II		7									8		402,30		8,00						
0	Ant	410,05		0,25		F3 MSY	I	P	Navážka - hlína písčítá - tmavě šedá až černá, pevná, drolivá, písčítá frakce jemnozrnná až prachovitá, s kameny velikosti do 2 cm, obsahu cca 15 %, s rostlinnými zbytky, s příměsí škváry Navážka - písek hlinitý - šedohnědý, středně ulehlý, jemnozrnný až prachovitý, s úlomky velikosti do 7 cm, obsahu do 20 % Jíl s extrémně vysokou plasticitou - hnědý a hnědošedý, pevný (Op>350 kPa), slabě písčitý, písčítá frakce jemnozrnná, s úlomky velikosti do 1 cm, obsahu do 10 %, s kořeny Písčitý slínovec zcela až silně zvětralý - žlutošedý, zvětralý na zeminu charakteru jílu štěrkovitého pevné konzistence, písčitého, písčítá frakce jemnozrnná až prachovitá, úlomky velikosti do 6 cm, které lze lámat v ruce nebo snadno rozbíjet kladivem Písčitý slínovec mírně zvětralý - žlutošedý, úlomkovitě a kamenitě rozpadavý na úlomky a kameny velikosti do 15 cm, které lze snadno až středně těžce rozbíjet kladivem, na puklinách limonitizovaný, porušen technologií vrtání Písčitý slínovec navětralý - žlutošedý, úlomkovitě a kamenitě rozpadavý na úlomky a kameny velikosti až 20 cm, které lze středně těžce rozbíjet kladivem, na puklinách limonitizovaný, porušen technologií vrtání																																																																																											
1	Q	409,80		0,50		S4 SMY	I	SU																																																																																												
1		409,30		1,00		F8 CE	I	P																																																																																												
2		408,80		1,50		R6-R5	I	P																																																																																												
3						R4	II																																																																																													
4	K	406,00		4,30																																																																																																
5																																																																																																				
6						R3-R4	II																																																																																													
7																																																																																																				
8		402,30		8,00																																																																																																
Vrt byl ukončen v hloubce 8,00 m.																																																																																																				
Legenda								POZNÁMKA																																																																																												
<div><div> Naražená hladina podzemní vody</div><div> Ustálená hladina podzemní vody</div></div> <div><div>Vzorky</div><div> Porušený vzorek</div><div> Jádrový vzorek horniny</div></div>																																																																																																				
Všechny rozměry jsou v metrech. Měřítko 1 : 100				Souprava Vrtmistr	UGB Zajíček	Dokumentoval(a) Mgr. V. Vala		Zpracoval(a) Mgr. V. Vala																																																																																												

GeoTec-GS, a.s. Chmelova 2920/6 Praha 10, 106 00				GEOLOGICKÁ DOKUMENTACE VRTU				Označení vrtu J252	
Název akce Kladno - Ostrovec, GTP, HGP a STP									
Zakázka číslo 2019-333		Vrtáno 13. 02. 2020		Výška (m n. m.) B.p.v. Z = 406,54		Souřadnice S-JTSK Y = 763 825,04 X = 1036 233,01			
Objednatel METROPROJEKT Praha a.s.				HPV naražená Nezastižena		HPV ustálená Nezastižena		Stránka 1 z 1	

GEOLOGICKÝ POPIS ZEMIN A HORNIN										
	Stratigrafie	Nadmořská výška (m)	Vrtný profil	Hloubka (Mocnost) (m)	Hladina podzemní vody (m)	Vzorek Lab. číslo	Zatřídění ČSN 73 1005	Těžitelnost ČSN 73 6133	Konzistence / ulehlost	
0		406,44		0,10			O	I		Humózní vrstva - svrchu s drnem
1	Ant			(2,70)			S4 SMY	I	SU	Navážka - písek hlinitý - černý a tmavě šedý, středně ulehlý, jemnozrný, s úlomky hornin a cihel velikosti do 8 cm, obsahu do 10 %, s příměsí škváry
2										
3										
3	Q	403,74		2,80			F4 CS	I	T	Jíl písčité - okrově hnědý, šedě páskovaný, tuhý (Op=160-180 kPa), písčité frakce jemně zrnitá až prachovitá, s úlomky velikosti do 4 cm, obsahu cca 15-20 %
		403,04		3,50						
4	K	402,54		4,00			R6 (F2)	I	T	Písčité slínovce zcela zvětralé - okrově hnědý, šedě páskovaný, zvětralý na zeminu charakteru jílu štěrkovitého tuhé konzistence (Op=180-200 kPa), písčitého, písčité frakce jemné až středně zrnité, s úlomky velikosti do 4 cm, obsahu do cca 30 %
				(1,00)			R5	I		Písčité slínovce silně zvětralé - žlutošedý, úlomkovitě rozpadavý na úlomky velikosti až 12 cm, které lze lámat v ruce nebo snadno rozbít kladivem, místy pouze otloukat (malá poloha silicitu), na puklinách limonitizovaný, porušen technologií vrtání
5		401,54		5,00						
		401,04		5,50			R4	II		Písčité slínovce mírně zvětralé - žlutohnědý až žlutošedý, úlomkovitě rozpadavý na úlomky velikosti až průměru vrtu, které lze středně těžce rozbít kladivem, na puklinách limonitizovaný, porušen technologií vrtání
										Vrt byl ukončen v hloubce 5,50 m.

Legenda		POZNÁMKA
Vzorky  Naražená hladina podzemní vody  Ustálená hladina podzemní vody		

Všechny rozměry jsou v metrech. Měřítko 1 : 100	Souprava Vrtmistr UGB Zajíček	Dokumentoval(a) Mgr. V. Vala	Zpracoval(a) Mgr. V. Vala
---	--	--	-------------------------------------

GeoTec-GS, a.s. Chmelova 2920/6 Praha 10, 106 00						GEOLOGICKÁ DOKUMENTACE VRTU						Označení vrtu J253																																																																																																																	
Název akce Kladno - Ostrovec, GTP, HGP a STP																																																																																																																													
Zakázka číslo 2019-333		Vrtáno 11. 02. 2020		Výška (m n. m.) B.p.v. Z = 409,21		Souřadnice S-JTSK Y = 763 855,86 X = 1035 627,97																																																																																																																							
Objednatel METROPROJEKT Praha a.s.				HPV naražená Nezastižena		HPV ustálená Nezastižena				Stránka 1 z 1																																																																																																																			
GEOLOGICKÝ POPIS ZEMIN A HORNIN																																																																																																																													
<table><tr><td>Stratigrafie</td><td>Nadmořská výška (m)</td><td>Vrtný profil</td><td>Hloubka (Mocnost) (m)</td><td>Hladina podzemní vody (m)</td><td>Vzorek Lab. číslo</td><td>Zatřídění ČSN 73 1005</td><td>Těžitelnost ČSN 73 6133</td><td>Konzistence /ulehlost</td><td colspan="5"></td></tr><tr><td rowspan="3">0 Ant</td><td>409,06</td><td rowspan="3"></td><td>0,15</td><td></td><td></td><td>Y</td><td>II</td><td>T</td><td colspan="5" rowspan="3">Dlažební kostka Navážka - heterogenní navážky - škvára s kameny velikosti až 20 cm a jíl písčité, tuhý, písčité frakce jemně až středně zrnitá, s ojedinělými úlomky velikosti do 2 cm</td></tr><tr><td>408,71</td><td>0,50</td><td>F4 CSY</td><td>I</td><td>P</td></tr><tr><td>408,61</td><td>0,60</td><td>F4 CSY</td><td>I</td><td>T</td></tr><tr><td>1 Q</td><td>408,01</td><td rowspan="3"></td><td>1,20</td><td></td><td></td><td>F4 CS</td><td>I</td><td>P</td><td colspan="5" rowspan="3">Navážka - jíl písčité - hnědošedý, pevný (Op=240-260 kPa), písčité frakce jemně zrnitá až prachovitá Navážka - jíl písčité - tmavě šedý, tuhý (Op=120-140 kPa), písčité frakce jemně zrnitá až prachovitá, s ojedinělými úlomky velikosti do 4 cm, s úlomky cihel Jíl písčité - šedý a okrově hnědý, pevný (Op=220-260 kPa), písčité frakce jemně až středně zrnitá, s úlomky velikosti do 7 cm, obsahu cca 25 %, s rostlinnými zbytky</td></tr><tr><td>2 K</td><td>407,21</td><td>(0,80) 2,00</td><td></td><td></td><td>R6 (F4)</td><td>I</td><td>P</td></tr><tr><td>3</td><td>406,21</td><td>(1,00) 3,00</td><td></td><td></td><td>R5</td><td>I</td><td>P</td></tr><tr><td>4</td><td></td><td rowspan="4"></td><td>(1,75)</td><td></td><td></td><td></td><td></td><td></td><td colspan="5" rowspan="4">Písčité slínovce zcela zvětralý - okrově hnědý, zvětralý na zeminu charakteru jílu písčitého pevné konzistence (Op=200-240 kPa), písčité frakce jemně až středně zrnitá, s úlomky velikosti do 10 cm, které lze lámat v ruce nebo snadno rozbít kladivem Písčité slínovce silně zvětralý - žlutošedý, úlomkovitě rozpadavý na úlomky velikosti až 20 cm, které lze lámat v ruce nebo snadno rozbít kladivem, na puklinách limonitizovaný, porušen technologií vrtání Silicit zdravý - šedobílý, úlomky velikosti až průměru vrtného jádra, lze pouze otloukat kladivem, porušen technologií vrtání Písčité slínovce mírně zvětralý - žlutošedý, úlomkovitě rozpadavý na úlomky velikosti až 20 cm, které lze středně těžce rozbít kladivem, na puklinách limonitizovaný, porušen technologií vrtání Silicit zdravý - šedobílý, úlomky velikosti až průměru vrtného jádra, lze pouze otloukat kladivem, porušen technologií vrtání Vrt byl ukončen v hloubce 5,50 m.</td></tr><tr><td>5</td><td>404,46</td><td>4,75</td><td></td><td></td><td>R3</td><td>III</td></tr><tr><td></td><td>404,21</td><td>5,00</td><td></td><td></td><td>R4</td><td>II</td></tr><tr><td></td><td>403,96</td><td>5,25</td><td></td><td></td><td>R3</td><td>III</td></tr><tr><td></td><td>403,71</td><td>5,50</td><td></td><td></td><td></td><td></td><td></td><td></td></tr></table>														Stratigrafie	Nadmořská výška (m)	Vrtný profil	Hloubka (Mocnost) (m)	Hladina podzemní vody (m)	Vzorek Lab. číslo	Zatřídění ČSN 73 1005	Těžitelnost ČSN 73 6133	Konzistence /ulehlost						0 Ant	409,06		0,15			Y	II	T	Dlažební kostka Navážka - heterogenní navážky - škvára s kameny velikosti až 20 cm a jíl písčité, tuhý, písčité frakce jemně až středně zrnitá, s ojedinělými úlomky velikosti do 2 cm					408,71	0,50	F4 CSY	I	P	408,61	0,60	F4 CSY	I	T	1 Q	408,01		1,20			F4 CS	I	P	Navážka - jíl písčité - hnědošedý, pevný (Op=240-260 kPa), písčité frakce jemně zrnitá až prachovitá Navážka - jíl písčité - tmavě šedý, tuhý (Op=120-140 kPa), písčité frakce jemně zrnitá až prachovitá, s ojedinělými úlomky velikosti do 4 cm, s úlomky cihel Jíl písčité - šedý a okrově hnědý, pevný (Op=220-260 kPa), písčité frakce jemně až středně zrnitá, s úlomky velikosti do 7 cm, obsahu cca 25 %, s rostlinnými zbytky					2 K	407,21	(0,80) 2,00			R6 (F4)	I	P	3	406,21	(1,00) 3,00			R5	I	P	4			(1,75)						Písčité slínovce zcela zvětralý - okrově hnědý, zvětralý na zeminu charakteru jílu písčitého pevné konzistence (Op=200-240 kPa), písčité frakce jemně až středně zrnitá, s úlomky velikosti do 10 cm, které lze lámat v ruce nebo snadno rozbít kladivem Písčité slínovce silně zvětralý - žlutošedý, úlomkovitě rozpadavý na úlomky velikosti až 20 cm, které lze lámat v ruce nebo snadno rozbít kladivem, na puklinách limonitizovaný, porušen technologií vrtání Silicit zdravý - šedobílý, úlomky velikosti až průměru vrtného jádra, lze pouze otloukat kladivem, porušen technologií vrtání Písčité slínovce mírně zvětralý - žlutošedý, úlomkovitě rozpadavý na úlomky velikosti až 20 cm, které lze středně těžce rozbít kladivem, na puklinách limonitizovaný, porušen technologií vrtání Silicit zdravý - šedobílý, úlomky velikosti až průměru vrtného jádra, lze pouze otloukat kladivem, porušen technologií vrtání Vrt byl ukončen v hloubce 5,50 m.					5	404,46	4,75			R3	III		404,21	5,00			R4	II		403,96	5,25			R3	III		403,71	5,50						
Stratigrafie	Nadmořská výška (m)	Vrtný profil	Hloubka (Mocnost) (m)	Hladina podzemní vody (m)	Vzorek Lab. číslo	Zatřídění ČSN 73 1005	Těžitelnost ČSN 73 6133	Konzistence /ulehlost																																																																																																																					
0 Ant	409,06		0,15			Y	II	T	Dlažební kostka Navážka - heterogenní navážky - škvára s kameny velikosti až 20 cm a jíl písčité, tuhý, písčité frakce jemně až středně zrnitá, s ojedinělými úlomky velikosti do 2 cm																																																																																																																				
	408,71		0,50	F4 CSY	I	P																																																																																																																							
	408,61		0,60	F4 CSY	I	T																																																																																																																							
1 Q	408,01		1,20			F4 CS	I	P	Navážka - jíl písčité - hnědošedý, pevný (Op=240-260 kPa), písčité frakce jemně zrnitá až prachovitá Navážka - jíl písčité - tmavě šedý, tuhý (Op=120-140 kPa), písčité frakce jemně zrnitá až prachovitá, s ojedinělými úlomky velikosti do 4 cm, s úlomky cihel Jíl písčité - šedý a okrově hnědý, pevný (Op=220-260 kPa), písčité frakce jemně až středně zrnitá, s úlomky velikosti do 7 cm, obsahu cca 25 %, s rostlinnými zbytky																																																																																																																				
2 K	407,21		(0,80) 2,00			R6 (F4)	I	P																																																																																																																					
3	406,21		(1,00) 3,00			R5	I	P																																																																																																																					
4			(1,75)						Písčité slínovce zcela zvětralý - okrově hnědý, zvětralý na zeminu charakteru jílu písčitého pevné konzistence (Op=200-240 kPa), písčité frakce jemně až středně zrnitá, s úlomky velikosti do 10 cm, které lze lámat v ruce nebo snadno rozbít kladivem Písčité slínovce silně zvětralý - žlutošedý, úlomkovitě rozpadavý na úlomky velikosti až 20 cm, které lze lámat v ruce nebo snadno rozbít kladivem, na puklinách limonitizovaný, porušen technologií vrtání Silicit zdravý - šedobílý, úlomky velikosti až průměru vrtného jádra, lze pouze otloukat kladivem, porušen technologií vrtání Písčité slínovce mírně zvětralý - žlutošedý, úlomkovitě rozpadavý na úlomky velikosti až 20 cm, které lze středně těžce rozbít kladivem, na puklinách limonitizovaný, porušen technologií vrtání Silicit zdravý - šedobílý, úlomky velikosti až průměru vrtného jádra, lze pouze otloukat kladivem, porušen technologií vrtání Vrt byl ukončen v hloubce 5,50 m.																																																																																																																				
5	404,46		4,75			R3	III																																																																																																																						
	404,21		5,00			R4	II																																																																																																																						
	403,96		5,25			R3	III																																																																																																																						
	403,71	5,50																																																																																																																											
Legenda										POZNÁMKA																																																																																																																			
<div><div> Naražená hladina podzemní vody</div><div> Ustálená hladina podzemní vody</div></div> <div>Vzorky</div>																																																																																																																													
Všechny rozměry jsou v metrech. Měřítko 1 : 100		Souprava Vrtmistr		UGB Zajíček		Dokumentoval(a) Mgr. V. Vala			Zpracoval(a) Mgr. V. Vala																																																																																																																				

Kladno - Ostrovec, GTP, HGP a STP

Souřadnice S-JTSK

$$Y = 763\,779,23 \quad X = 1035\,715,91$$

Stránka

1 z 1

Všechny rozměry jsou v metrech. Měřítko 1 : 100	Souprava Vrtmistr	UGB Zajíček	Dokumentoval(a) V.Vala, P.Stárková	Zpracoval(a) P.Stárková
---	----------------------	----------------	---------------------------------------	----------------------------

GeoTec-GS, a.s. Chmelova 2920/6 Praha 10, 106 00				GEOLOGICKÁ DOKUMENTACE VRTU				Označení vrtu J255		
Název akce Kladno - Ostrovec, GTP, HGP a STP										
Zakázka číslo 2019-333		Vrtáno 11. 02. 2020		Výška (m n. m.) B.p.v. Z = 407,87		Souřadnice S-JTSK Y = 763 915,90 X = 1035 453,91				
Objednatel METROPROJEKT Praha a.s.				HPV naražená Nezastižena		HPV ustálená Nezastižena				
						Stránka 1 z 1				
GEOLOGICKÝ POPIS ZEMIN A HORNIN										
0	Ant	407,67				F3	I	T	Navážka - hlína písčitá - černá, tuhá, drolivá, písčitá frakce jemně zrnitá, svrchu s drnem	
		407,27				MSO	I	T		
1		406,87				F4 CSY	I	P		Navážka - hlína písčitá a jíl písčitý - šedohnědé barvy, tuhé konzistence, s úlomky hornin a cihel velikosti do 8 cm, písčitá frakce jemně zrnitá až prachovitá, s příměsí škváry
		406,52				S4 SMY	I	SU		
2	Q					F2 CG	I	P-R	Navážka - jíl písčitý - žlutý, pevný, s úlomky opuky velikosti až 5 cm, obsahu cca 20 %	
									Navážka - písek hlinitý, šedohnědý, středně ulehlý, jemnozrnný až prachovitý, s úlomky velikosti do 2 cm, obsahu do 10 %	
3	K	404,87							Jíl štěrkovitý - šedohnědý až okrově hnědý, pevný až tvrdý (Op>350 kPa), písčitý, písčitá frakce jemně až středně zrnitá, úlomky opuky velikosti do 6 cm, obsahu cca 35 %	
		404,37				R5	I			
4						R4	II			Písčitý slínovec silně zvětralý - žlutohnědý, úlomkovitě rozpadavý na úlomky velikosti až 12 cm, které lze snadno rozbít kladivem, na puklinách limonitizovaný, porušen technologií vrtání
		403,37								
5		402,87				R3	III		Písčitý slínovec mírně zvětralý - žlutohnědý, úlomkovitě rozpadavý na úlomky velikosti až průměru vrtného jádra, které lze středně těžce rozbít kladivem, na puklinách limonitizovaný, porušen technologií vrtání	
6		401,77							Silicit zdravý - šedobílý, úlomky velikosti až průměru vrtného jádra, lze pouze otloukat kladivem, porušen technologií vrtání	
		401,37				R3	III		Silicit zdravý - šedobílý, úlomky velikosti až průměru vrtného jádra, lze pouze otloukat kladivem, porušen technologií vrtání	
Vrt byl ukončen v hloubce 6,50 m.										
Legenda								POZNÁMKA		
Vzorky										
1 Naražená hladina podzemní vody										
2 Ustálená hladina podzemní vody										
Všechny rozměry jsou v metrech. Měřítko 1 : 100				Souprava Vrtmistr		UGB Zajíček		Dokumentoval(a) Mgr. V. Vala		
								Zpracoval(a) Mgr. V. Vala		

GeoTec-GS, a.s. Chmelova 2920/6 Praha 10, 106 00										GEOLOGICKÁ DOKUMENTACE VRTU										Označení vrtu J256			
Název akce Kladno - Ostrovec, GTP, HGP a STP																							
Zakázka číslo 2019-333				Vrtáno 06. 02. 2020				Výška (m n. m.) B.p.v. Z = 410,55				Souřadnice S-JTSK Y = 764 436,96 X = 1035 370,40											
Objednatel METROPROJEKT Praha a.s.						HPV naražená Nezastižena				HPV ustálená Nezastižena				Stránka 1 z 1									
<div><div><div>0</div><div>Stratigrafie</div><div>Nadmořská výška (m)</div><div>Vrtný profil</div><div>Hloubka (Mocnost) (m)</div><div>Hladina podzemní vody (m)</div><div>Vzorek Lab. číslo</div><div>Zatřídění ČSN 73 1005</div><div>Těžitelnost ČSN 73 6133</div><div>Konzistence /ulehlost</div></div><div><div>1</div><div>Ant</div><div></div><div></div><div>(2,50)</div><div></div><div></div><div>Y</div><div>I</div><div></div></div><div><div>2</div><div></div><div>408,05</div><div></div><div>2,50</div><div></div><div></div><div></div><div></div><div></div></div><div><div>3</div><div>Q</div><div>407,65</div><div></div><div>2,90</div><div></div><div></div><div>F2 CG</div><div>I</div><div>T</div></div><div><div></div><div></div><div>407,25</div><div></div><div>3,30</div><div></div><div></div><div>R6 (S4)</div><div>I</div><div></div></div><div><div>4</div><div>K</div><div>405,85</div><div></div><div>(1,40)</div><div></div><div></div><div>R5</div><div>I</div><div></div></div><div><div>5</div><div></div><div>405,05</div><div></div><div>(0,80)</div><div></div><div></div><div>R4</div><div>II</div><div></div></div><div><div></div><div></div><div>5,50</div><div></div><div></div><div></div><div></div><div></div><div></div><div></div></div></div> <div><div><div><div>Navážka - heterogenní navážka - černá a světle hnědá, směs škváry, písku a drážního štěrku, zastižena geotextílie</div><div>Jíl štěrkovitý - béžový, světle hnědý, okrový, tuhý, s úlomky velikosti do 5 cm, obsahu 25 %</div><div>Písčitý slínovec zcela zvětralý - béžový, šmouhovaný, šedý, zvětralý na zeminu charakteru písku hlinitého, jemnozrného, prachovitého</div><div>Písčitý slínovec silně zvětralý - šedý a žlutohnědý, úlomkovitě rozpadavý na úlomky velikosti do 8 cm, které lze lámat v ruce nebo snadno rozbít kladivem, v poloze (4,3-4,4 m) silicit zdravý, porušen technologií vrtání</div><div>Písčitý slínovec mírně zvětralý - béžový, šedý, úlomkovitě a kamenitě rozpadavý na úlomky a kameny velikosti až 20 cm, které lze středně těžce rozbít kladivem, na plochách odlučnosti limonitizovaný, rozpukaný, porušen technologií vrtání</div><div>Vrt byl ukončen v hloubce 5,50 m.</div></div></div></div>																							
Legenda														POZNÁMKA									
<div><div><div>↓</div><div>Naražená hladina podzemní vody</div></div><div><div>↓</div><div>Ustálená hladina podzemní vody</div></div></div> <div>Vzorky</div>																							
Všechny rozměry jsou v metrech. Měřítko 1 : 100				Souprava Vrtmistr				UGB Zajíček				Dokumentoval(a) V.Vala, P.Stárková				Zpracoval(a) P.Stárková							

GeoTec-GS, a.s. Chmelova 2920/6 Praha 10, 106 00										GEOLOGICKÁ DOKUMENTACE VRTU										Označení vrtu J257																																																																																																																																																															
Název akce Kladno - Ostrovec, GTP, HGP a STP																																																																																																																																																																																			
Zakázka číslo 2019-333				Vrtáno 13. 02. 2020				Výška (m n. m.) B.p.v. Z = 407,89				Souřadnice S-JTSK Y = 765 118,95 X = 1034 692,84																																																																																																																																																																							
Objednatel METROPROJEKT Praha a.s.						HPV naražená Nezastižena				HPV ustálená Nezastižena						Stránka 1 z 1																																																																																																																																																																			
Stratigrafie												GEOLOGICKÝ POPIS ZEMIN A HORNIN																																																																																																																																																																							
Nadmořská výška (m)												Vrtný profil												Hloubka (Mocnost) (m)												Hladina podzemní vody (m)												Vzorek Lab. číslo												Zatřídění ČSN 73 1005												Těžitelnost ČSN 73 6133												Konzistence /ulehlost																																																																																															
0												407,39												0,50																																				F3 MSY												I												P												Navážka - hlína písčitá - černá a tmavě hnědá, pevná, drolivá, písčitá frakce jemně zrnitá, s úlomky hornin a cihel velikosti až 10 cm, obsahu cca 25 %, svrchu s drnem																																																																																			
1												406,89												1,00																																				F4 CSY												I												M												Navážka - jíl písčitý - šedohnědý, měkký (Op=80 kPa), písčitá frakce jemně zrnitá až prachovitá																																																																																			
2																								(1,50)																																				F4 CSY												I												T												Navážka - jíl písčitý - hnědošedý, páskovaný, tuhý (Op=140-180 kPa), písčitá frakce jemně zrnitá až prachovitá																																																																																			
3												405,39												2,50																																																												F4 CS												I												T												Jíl písčitý - hnědý, tuhý (Op=120-140 kPa), písčitá frakce jemně zrnitá až prachovitá																																																											
4												404,69												3,20																																																												F2 CG												I												T-P												Jíl štěrkovitý - hnědý, tuhý až pevný (Op=160-200 kPa), písčitý, písčitá frakce jemně až středně zrnitá, úlomky opuky velikosti až 20 cm, obsahu cca 30 %																																																											
5												403,39												4,50																																																																																				R6 (F2)												I												T												Písčitý slínovec zcela zvětralý - hnědošedý až žlutošedý, zvětralý na zeminu charakteru jílu štěrkovitého tuhé konzistence (Op=120-140 kPa), úlomky velikosti do 10 cm, které lze lámat v ruce nebo snadno rozbít kladivem																																			
6												402,89												5,00																																																																																				R5												I																								Písčitý slínovec silně zvětralý - žlutošedý, úlomkovitě rozpadavý na úlomky velikosti až 20 cm, které lze lámat v ruce nebo snadno rozbít kladivem, na puklinách limonitizovaný, porušen technologií vrtání																																			
												401,89												6,00																																																																																																R4												II																								Písčitý slínovec mírně zvětralý - žlutošedý, úlomkovitě rozpadavý na úlomky velikosti až 20 cm, které lze středně těžce rozbít kladivem, na puklinách limonitizovaný, porušen technologií vrtání																							
												401,39												6,50																																																																																																																																																Vrt byl ukončen v hloubce 6,50 m.											
Legenda												POZNÁMKA																																																																																																																																																																							
Vzorky																																																																																																																																																																																			
Naražená hladina podzemní vody																																																																																																																																																																																			
Ustálená hladina podzemní vody																																																																																																																																																																																			
Všechny rozměry jsou v metrech. Měřítko 1 : 100												Souprava Vrtmistr												UGB Zajíček												Dokumentoval(a) Mgr. V. Vala												Zpracoval(a) Mgr. V. Vala																																																																																																																																			

GeoTec-GS, a.s. Chmelova 2920/6 Praha 10, 106 00										GEOLOGICKÁ DOKUMENTACE VRTU										Označení vrtu J258																																																																																																																																																																																																																																																																																																																																																																																																																																																																																																																																																																																																																																																																																																																																																																																																																																																																																																																																																																																																																																																																																																																																																																																																																																																																																																																																																																																																																																																																																																																																																																																																																																																																																																																																																																																																																																																																																																																																																																																																																																																																																																																																																																																																																																																																																																																																																																																																																																																																																																																																																																																																																																																																																																																																																																																																																																																																																																																																																																																																																																																																																																																																																																																																																																																																																																																																																																																																																																																																																																																																																																																																																																																																																																																																																																																																																																																																																																																																																																																																																																																																																																																																																																																																																																																																																																																																																																																																																																																																																																																																																																																																																																																																																																																																																																																																			
Název akce Kladno - Ostrovec, GTP, HGP a STP																																																																																																																																																																																																																																																																																																																																																																																																																																																																																																																																																																																																																																																																																																																																																																																																																																																																																																																																																																																																																																																																																																																																																																																																																																																																																																																																																																																																																																																																																																																																																																																																																																																																																																																																																																																																																																																																																																																																																																																																																																																																																																																																																																																																																																																																																																																																																																																																																																																																																																																																																																																																																																																																																																																																																																																																																																																																																																																																																																																																																																																																																																																																																																																																																																																																																																																																																																																																																																																																																																																																																																																																																																																																																																																																																																																																																																																																																																																																																																																																																																																																																																																																																																																																																																																																																																																																																																																																																																																																																																																																																																																																																																																																																																																																																																																																																							
Zakázka číslo 2019-333				Vrtáno 18. 02. 2020				Výška (m n. m.) B.p.v. Z = 407,35				Souřadnice S-JTSK Y = 765 878,28 X = 1033 628,94																																																																																																																																																																																																																																																																																																																																																																																																																																																																																																																																																																																																																																																																																																																																																																																																																																																																																																																																																																																																																																																																																																																																																																																																																																																																																																																																																																																																																																																																																																																																																																																																																																																																																																																																																																																																																																																																																																																																																																																																																																																																																																																																																																																																																																																																																																																																																																																																																																																																																																																																																																																																																																																																																																																																																																																																																																																																																																																																																																																																																																																																																																																																																																																																																																																																																																																																																																																																																																																																																																																																																																																																																																																																																																																																																																																																																																																																																																																																																																																																																																																																																																																																																																																																																																																																																																																																																																																																																																																																																																																																																																																																																																																																																																																																																																																																											
Objednatel METROPROJEKT Praha a.s.						HPV naražená Nezastižena				HPV ustálená Nezastižena				Stránka 1 z 1																																																																																																																																																																																																																																																																																																																																																																																																																																																																																																																																																																																																																																																																																																																																																																																																																																																																																																																																																																																																																																																																																																																																																																																																																																																																																																																																																																																																																																																																																																																																																																																																																																																																																																																																																																																																																																																																																																																																																																																																																																																																																																																																																																																																																																																																																																																																																																																																																																																																																																																																																																																																																																																																																																																																																																																																																																																																																																																																																																																																																																																																																																																																																																																																																																																																																																																																																																																																																																																																																																																																																																																																																																																																																																																																																																																																																																																																																																																																																																																																																																																																																																																																																																																																																																																																																																																																																																																																																																																																																																																																																																																																																																																																																																																																																																																																									
Stratigrafie												GEOLOGICKÝ POPIS ZEMIN A HORNIN																																																																																																																																																																																																																																																																																																																																																																																																																																																																																																																																																																																																																																																																																																																																																																																																																																																																																																																																																																																																																																																																																																																																																																																																																																																																																																																																																																																																																																																																																																																																																																																																																																																																																																																																																																																																																																																																																																																																																																																																																																																																																																																																																																																																																																																																																																																																																																																																																																																																																																																																																																																																																																																																																																																																																																																																																																																																																																																																																																																																																																																																																																																																																																																																																																																																																																																																																																																																																																																																																																																																																																																																																																																																																																																																																																																																																																																																																																																																																																																																																																																																																																																																																																																																																																																																																																																																																																																																																																																																																																																																																																																																																																																																																																																																																																																																											
Nadmořská výška (m)												Vrtný profil												Hloubka (Mocnost) (m)												Hladina podzemní vody (m)												Vzorek Lab. číslo												Zatřídění ČSN 73 1005												Těžitelnost ČSN 73 6133												Konzistence /ulehlost																																																																																																																																																																																																																																																																																																																																																																																																																																																																																																																																																																																																																																																																																																																																																																																																																																																																																																																																																																																																																																																																																																																																																																																																																																																																																																																																																																																																																																																																																																																																																																																																																																																																																																																																																																																																																																																																																																																																																																																																																																																																																																																																																																																																																																																																																																																																																																																																																																																																																																																																																																																																																																																																																																																																																																																																																																																																																																																																																																																																																																																																																																																																																																																																																																																																																																																																																																																																																																																																																																																																																																																																																																																																																																																																																																																																																																																																																																																																																																																																																																																																																																																																																																																																																																																																																																																																																																																																																																																																																																																																																																																																																																																																																																																																			
0												407,25												0,10																																				O												I																								Humózní vrstva s drnem - hlína písčitá												Navážka - písek hlinitý - černý, černohnědý, středně ulehlý																																																																																																																																																																																																																																																																																																																																																																																																																																																																																																																																																																																																																																																																																																																																																																																																																																																																																																																																																																																																																																																																																																																																																																																																																																																																																																																																																																																																																																																																																																																																																																																																																																																																																																																																																																																																																																																																																																																																																																																																																																																																																																																																																																																																																																																																																																																																																																																																																																																																																																																																																																																																																																																																																																																																																																																																																																																																																																																																																																																																																																																																																																																																																																																																																																																																																																																																																																																																																																																																																																																																																																																																																																																																																																																																																																																																																																																																																																																																																																																																																																																																																																																																																																																																																																																																																																																																																																																																																																																																																																																																																																																																																																																																																																											
1												Ant												(1,60)																																				S4 SMY												I												SU																																																																																																																																																																																																																																																																																																																																																																																																																																																																																																																																																																																																																																																																																																																																																																																																																																																																																																																																																																																																																																																																																																																																																																																																																																																																																																																																																																																																																																																																																																																																																																																																																																																																																																																																																																																																																																																																																																																																																																																																																																																																																																																																																																																																																																																																																																																																																																																																																																																																																																																																																																																																																																																																																																																																																																																																																																																																																																																																																																																																																																																																																																																																																																																																																																																																																																																																																																																																																																																																																																																																																																																																																																																																																																																																																																																																																																																																																																																																																																																																																																																																																																																																																																																																																																																																																																																																																																																																																																																																																																																																																																																																																																																																																																																																			
2												405,65												1,70																																				F2 CG												I												P																								Navážka - jíl šterkovitý - hnědý, pevné konzistence, s úlomky opuky a cihel																																																																																																																																																																																																																																																																																																																																																																																																																																																																																																																																																																																																																																																																																																																																																																																																																																																																																																																																																																																																																																																																																																																																																																																																																																																																																																																																																																																																																																																																																																																																																																																																																																																																																																																																																																																																																																																																																																																																																																																																																																																																																																																																																																																																																																																																																																																																																																																																																																																																																																																																																																																																																																																																																																																																																																																																																																																																																																																																																																																																																																																																																																																																																																																																																																																																																																																																																																																																																																																																																																																																																																																																																																																																																																																																																																																																																																																																																																																																																																																																																																																																																																																																																																																																																																																																																																																																																																																																																																																																																																																																																																																																																																																																																																											
2												405,35												2,00																																				S4 SMY												I												SU																								Navážka - písek hlinitý - hnědý, místy jílovitý, středně ulehlý, s úlomky prachovce a křemene, s kamenem opuky o velikosti až 20 cm, s kousky cihel																																																																																																																																																																																																																																																																																																																																																																																																																																																																																																																																																																																																																																																																																																																																																																																																																																																																																																																																																																																																																																																																																																																																																																																																																																																																																																																																																																																																																																																																																																																																																																																																																																																																																																																																																																																																																																																																																																																																																																																																																																																																																																																																																																																																																																																																																																																																																																																																																																																																																																																																																																																																																																																																																																																																																																																																																																																																																																																																																																																																																																																																																																																																																																																																																																																																																																																																																																																																																																																																																																																																																																																																																																																																																																																																																																																																																																																																																																																																																																																																																																																																																																																																																																																																																																																																																																																																																																																																																																																																																																																																																																																																																																																																																																											
3												Q												(0,80)												2,80																								S4 SMY												I												SU																								Písek hlinitý - hnědý, středně ulehlý, místy jílovitý (tmavěhnědý), místy s úlomky opuky do 1 cm, písčitá frakce jemnozrná až středně zrnitá																																																																																																																																																																																																																																																																																																																																																																																																																																																																																																																																																																																																																																																																																																																																																																																																																																																																																																																																																																																																																																																																																																																																																																																																																																																																																																																																																																																																																																																																																																																																																																																																																																																																																																																																																																																																																																																																																																																																																																																																																																																																																																																																																																																																																																																																																																																																																																																																																																																																																																																																																																																																																																																																																																																																																																																																																																																																																																																																																																																																																																																																																																																																																																																																																																																																																																																																																																																																																																																																																																																																																																																																																																																																																																																																																																																																																																																																																																																																																																																																																																																																																																																																																																																																																																																																																																																																																																																																																																																																																																																																																																																																																																																																																																											
3												404,55												3,40																																				S4 SM												I												SU																								Písek hlinitý - hnědý, středně ulehlý, místy jílovitý (tmavěhnědý), místy s úlomky opuky do 1 cm, písčitá frakce jemnozrná až středně zrnitá																																																																																																																																																																																																																																																																																																																																																																																																																																																																																																																																																																																																																																																																																																																																																																																																																																																																																																																																																																																																																																																																																																																																																																																																																																																																																																																																																																																																																																																																																																																																																																																																																																																																																																																																																																																																																																																																																																																																																																																																																																																																																																																																																																																																																																																																																																																																																																																																																																																																																																																																																																																																																																																																																																																																																																																																																																																																																																																																																																																																																																																																																																																																																																																																																																																																																																																																																																																																																																																																																																																																																																																																																																																																																																																																																																																																																																																																																																																																																																																																																																																																																																																																																																																																																																																																																																																																																																																																																																																																																																																																																																																																																																																																																																											
4												403,95																																																R6 (F2)												I												P																								Písčité slínovce zcela zvětralý - béžový, okrový, rozpad na zeminu charakteru jílu šterkovitého pevné konzistence, písčitá frakce jemnozrná až středně zrnitá, úlomky a střípky opuky velikosti až 8 cm, které lze lámat v ruce nebo snadno rozbít kladivem, s málomocnou polohou silicitu (4,70-4,90 m)																																																																																																																																																																																																																																																																																																																																																																																																																																																																																																																																																																																																																																																																																																																																																																																																																																																																																																																																																																																																																																																																																																																																																																																																																																																																																																																																																																																																																																																																																																																																																																																																																																																																																																																																																																																																																																																																																																																																																																																																																																																																																																																																																																																																																																																																																																																																																																																																																																																																																																																																																																																																																																																																																																																																																																																																																																																																																																																																																																																																																																																																																																																																																																																																																																																																																																																																																																																																																																																																																																																																																																																																																																																																																																																																																																																																																																																																																																																																																																																																																																																																																																																																																																																																																																																																																																																																																																																																																																																																																																																																																																																																																																																																																																											
4																								(2,40)																																				R6 (F2)												I												P																																																																																																																																																																																																																																																																																																																																																																																																																																																																																																																																																																																																																																																																																																																																																																																																																																																																																																																																																																																																																																																																																																																																																																																																																																																																																																																																																																																																																																																																																																																																																																																																																																																																																																																																																																																																																																																																																																																																																																																																																																																																																																																																																																																																																																																																																																																																																																																																																																																																																																																																																																																																																																																																																																																																																																																																																																																																																																																																																																																																																																																																																																																																																																																																																																																																																																																																																																																																																																																																																																																																																																																																																																																																																																																																																																																																																																																																																																																																																																																																																																																																																																																																																																																																																																																																																																																																																																																																																																																																																																																																																																																																																																																																																																																																			
5												K																																																																																																																																																																																																																																																																																																																																																																																																																																																																																																																																																																																																																																																																																																																																																																																																																																																																																																																																																																																																																																																																																																																																																																																																																																																																																																																																																																																																																																																																																																																																																																																																																																																																																																																																																																																																																																																																																																																																																																																																																																																																																																																																																																																																																																																																																																																																																																																																																																																																																																																																																																																																																																																																																																																																																																																																																																																																																																																																																																																																																																																																																																																																																																																																																																																																																																																																																																																																																																																																																																																																																																																																																																																																																																																																																																																																																																																																																																																																																																																																																																																																																																																																																																																																																																																																																																																																																																																																																																																																																																																																																																																																																																																																																																																																																																																																											

GeoTec-GS, a.s. Chmelova 2920/6 Praha 10, 106 00										GEOLOGICKÁ DOKUMENTACE VRTU										Označení vrtu J259																																																																																																																																																																																																																																																																																																																																																																																																																																																																																																																																																																																																																																																																																																																																																																																																																																																																																																																																																																																																																																																																																																																																																																																																																																																																																																																																																																																																																																																																																																																																																																																																																																																																																																																																																																																																																																																																																																																																																																																																																																																																																																																																																																																																																																																																																																																																																																																																																																																																																																																																																																																																																																																																																																																																																																																																																																																																																																																																																																																																																																																																																																																																																																																																																																																																																																																																																																																																																																																																																																																																																																																																																																																																																																																																																																																																																																																																																																																																																																																																																																																																																																																																																																																																																																																																																																																																																																																																																																																																																																																																																																																																																																																																																																																																																																																																																																																																																																																																																																																																																																																																																																																																																																																																																																																																																																																																																																																																																																																																																																																																																																																																																																																																																																																																																																																																																																																																																																																																																																																																																																							
Název akce Kladno - Ostrovec, GTP, HGP a STP																																																																																																																																																																																																																																																																																																																																																																																																																																																																																																																																																																																																																																																																																																																																																																																																																																																																																																																																																																																																																																																																																																																																																																																																																																																																																																																																																																																																																																																																																																																																																																																																																																																																																																																																																																																																																																																																																																																																																																																																																																																																																																																																																																																																																																																																																																																																																																																																																																																																																																																																																																																																																																																																																																																																																																																																																																																																																																																																																																																																																																																																																																																																																																																																																																																																																																																																																																																																																																																																																																																																																																																																																																																																																																																																																																																																																																																																																																																																																																																																																																																																																																																																																																																																																																																																																																																																																																																																																																																																																																																																																																																																																																																																																																																																																																																																																																																																																																																																																																																																																																																																																																																																																																																																																																																																																																																																																																																																																																																																																																																																																																																																																																																																																																																																																																																																																																																																																																																																																																																																																																																											
Zakázka číslo 2019-333				Vrtáno 29. 01. 2020				Výška (m n. m.) B.p.v. Z = 394,25				Souřadnice S-JTSK Y = 765 818,67 X = 1033 132,45																																																																																																																																																																																																																																																																																																																																																																																																																																																																																																																																																																																																																																																																																																																																																																																																																																																																																																																																																																																																																																																																																																																																																																																																																																																																																																																																																																																																																																																																																																																																																																																																																																																																																																																																																																																																																																																																																																																																																																																																																																																																																																																																																																																																																																																																																																																																																																																																																																																																																																																																																																																																																																																																																																																																																																																																																																																																																																																																																																																																																																																																																																																																																																																																																																																																																																																																																																																																																																																																																																																																																																																																																																																																																																																																																																																																																																																																																																																																																																																																																																																																																																																																																																																																																																																																																																																																																																																																																																																																																																																																																																																																																																																																																																																																																																																																																																																																																																																																																																																																																																																																																																																																																																																																																																																																																																																																																																																																																																																																																																																																																																																																																																																																																																																																																																																																																																																																																																																																																																																																																																															
Objednatel METROPROJEKT Praha a.s.						HPV naražená Nezastižena				HPV ustálená Nezastižena				Stránka 1 z 1																																																																																																																																																																																																																																																																																																																																																																																																																																																																																																																																																																																																																																																																																																																																																																																																																																																																																																																																																																																																																																																																																																																																																																																																																																																																																																																																																																																																																																																																																																																																																																																																																																																																																																																																																																																																																																																																																																																																																																																																																																																																																																																																																																																																																																																																																																																																																																																																																																																																																																																																																																																																																																																																																																																																																																																																																																																																																																																																																																																																																																																																																																																																																																																																																																																																																																																																																																																																																																																																																																																																																																																																																																																																																																																																																																																																																																																																																																																																																																																																																																																																																																																																																																																																																																																																																																																																																																																																																																																																																																																																																																																																																																																																																																																																																																																																																																																																																																																																																																																																																																																																																																																																																																																																																																																																																																																																																																																																																																																																																																																																																																																																																																																																																																																																																																																																																																																																																																																																																																																																																																													
Stratigrafie												GEOLOGICKÝ POPIS ZEMIN A HORNIN																																																																																																																																																																																																																																																																																																																																																																																																																																																																																																																																																																																																																																																																																																																																																																																																																																																																																																																																																																																																																																																																																																																																																																																																																																																																																																																																																																																																																																																																																																																																																																																																																																																																																																																																																																																																																																																																																																																																																																																																																																																																																																																																																																																																																																																																																																																																																																																																																																																																																																																																																																																																																																																																																																																																																																																																																																																																																																																																																																																																																																																																																																																																																																																																																																																																																																																																																																																																																																																																																																																																																																																																																																																																																																																																																																																																																																																																																																																																																																																																																																																																																																																																																																																																																																																																																																																																																																																																																																																																																																																																																																																																																																																																																																																																																																																																																																																																																																																																																																																																																																																																																																																																																																																																																																																																																																																																																																																																																																																																																																																																																																																																																																																																																																																																																																																																																																																																																																																																																																																																																																															
Nadmořská výška (m)												Vrtný profil												Hloubka (Mocnost) (m)												Hladina podzemní vody (m)												Vzorek Lab. číslo												Zatřídění ČSN 73 1005												Těžitelnost ČSN 73 6133												Konzistence /ulehlost																																																																																																																																																																																																																																																																																																																																																																																																																																																																																																																																																																																																																																																																																																																																																																																																																																																																																																																																																																																																																																																																																																																																																																																																																																																																																																																																																																																																																																																																																																																																																																																																																																																																																																																																																																																																																																																																																																																																																																																																																																																																																																																																																																																																																																																																																																																																																																																																																																																																																																																																																																																																																																																																																																																																																																																																																																																																																																																																																																																																																																																																																																																																																																																																																																																																																																																																																																																																																																																																																																																																																																																																																																																																																																																																																																																																																																																																																																																																																																																																																																																																																																																																																																																																																																																																																																																																																																																																																																																																																																																																																																																																																																																																																																																																																																																																																																																																																																																																																																																																																																																																																																																																																																																																																																																																																																																																																																																																																																																																																																																																																																																																																																																																																																																																																																																																																																																																																																																																																																							
0																																																																																																																																				Navážka - směs škváry a popela - černá, středně ulehlá, s úlomky hornin velikosti do 5 cm, se střepy, dráty, atp.																																																																																																																																																																																																																																																																																																																																																																																																																																																																																																																																																																																																																																																																																																																																																																																																																																																																																																																																																																																																																																																																																																																																																																																																																																																																																																																																																																																																																																																																																																																																																																																																																																																																																																																																																																																																																																																																																																																																																																																																																																																																																																																																																																																																																																																																																																																																																																																																																																																																																																																																																																																																																																																																																																																																																																																																																																																																																																																																																																																																																																																																																																																																																																																																																																																																																																																																																																																																																																																																																																																																																																																																																																																																																																																																																																																																																																																																																																																																																																																																																																																																																																																																																																																																																																																																																																																																																																																																																																																																																																																																																																																																																																																																																																																																																																																																																																																																																																																																																																																																																																																																																																																																																																																																																																																																																																																																																																																																																																																																																																																																																																																																																																																																																																																																																																																																																																																																																																																							
1												Ant												392,65												(1,60)																																																																																																																																																																																																																																																																																																																																																																																																																																																																																																																																																																																																																																																																																																																																																																																																																																																																																																																																																																																																																																																																																																																																																																																																																																																																																																																																																																																																																																																																																																																																																																																																																																																																																																																																																																																																																																																																																																																																																																																																																																																																																																																																																																																																																																																																																																																																																																																																																																																																																																																																																																																																																																																																																																																																																																																																																																																																																																																																																																																																																																																																																																																																																																																																																																																																																																																																																																																																																																																																																																																																																																																																																																																																																																																																																																																																																																																																																																																																																																																																																																																																																																																																																																																																																																																																																																																																																																																																																																																																																																																																																																																																																																																																																																																																																																																																																																																																																																																																																																																																																																																																																																																																																																																																																																																																																																																																																																																																																																																																																																																																																																																																																																																																																																																																																																																																																																																																																																																																																																																																																							

GeoTec-GS, a.s. Chmelova 2920/6 Praha 10, 106 00										GEOLOGICKÁ DOKUMENTACE VRTU										Označení vrtu J260			
Název akce Kladno - Ostrovec, GTP, HGP a STP																							
Zakázka číslo 2019-333				Vrtáno 24. 02. 2020				Výška (m n. m.) B.p.v. Z = 385,32				Souřadnice S-JTSK Y = 765 551,02 X = 1033 114,85											
Objednatel METROPROJEKT Praha a.s.						HPV naražená Nezastižena				HPV ustálená Nezastižena				Stránka 1 z 1									
<div><div><div>0</div><div>Ant</div><div><div><div>385.07</div><div>384.82</div></div><div><div><div><div></div><div></div></div></div><div><div><div></div><div></div></div></div></div><div>1</div><div>Q</div><div><div><div>384.32</div><div>383.97</div><div>383.82</div></div><div><div><div><div></div><div></div></div></div><div><div><div></div><div></div></div></div></div><div>2</div><div>K</div><div><div><div>381.82</div><div>381.32</div><div>380.82</div></div><div><div><div><div></div><div></div></div></div><div><div><div></div><div></div></div></div></div><div>3</div><div>4</div></div></div><div><div><div>0,25</div><div>0,50</div><div>1,00</div><div>1,35</div><div>1,50</div><div>(0,80)</div><div>2,30</div><div>2,50</div><div>(1,00)</div><div>3,50</div><div>4,00</div><div>4,50</div></div><div><div></div><div></div><div></div><div></div><div></div><div></div><div></div><div></div><div></div><div></div><div></div><div></div><div></div><div></div><div></div><div></div><div></div><div></div><div></div><div></div><div></div><div></div><div></div><div></div><div></div><div></div><div></div><div></div><div></div><div></div><div></div><div></div><div></div><div></div><div></div><div></div><div></div><div></div><div></div><div></div><div></div><div></div><div></div><div></div><div></div><div></div><div></div><div></div><div></div><div></div><div></div><div></div><div></div><div></div><div></div><div></div><div></div><div></div><div></div><div></div><div></div><div></div><div></div><div></div><div></div><div></div><div></div><div></div><div></div><div></div><div></div><div></div><div></div><div></div><div></div><div></div><div></div><div></div><div></div><div></div><div></div><div></div><div></div><div></div><div></div><div></div><div></div><div></div><div></div><div></div><div></div><div></div><div></div><div></div><div></div><div></div><div></div><div></div><div></div><div></div><div></div><div></div><div></div><div></div><div></div><div></div><div></div><div></div><div></div><div></div><div></div><div></div><div></div><div></div><div></div><div></div><div></div><div></div><div></div><div></div><div></div><div></div><div></div><div></div><div></div><div></div><div></div><div></div><div></div><div></div><div></div><div></div><div></div><div></div><div></div><div></div><div></div><div></div><div></div><div></div><div></div><div></div><div></div><div></div><div></div><div></div><div></div><div></div><div></div><div></div><div></div><div></div><div></div><div></div><div></div><div></div><div></div><div></div><div></div><div></div><div></div><div></div><div></div><div></div><div></div><div></div><div></div><div></div><div></div><div></div><div></div><div></div><div></div><div></div><div></div><div></div><div></div><div></div><div></div><div></div><div></div><div></div><div></div><div></div><div></div><div></div><div></div><div></div><div></div><div></div><div></div><div></div><div></div><div></div><div></div><div></div><div></div><div></div><div></div><div></div><div></div><div></div><div></div><div></div><div></div><div></div><div></div><div></div><div></div><div></div><div></div><div></div><div></div><div></div><div></div><div></div><div></div><div></div><div></div><div></div><div></div><div></div><div></div><div></div><div></div><div></div><div></div><div></div><div></div><div></div><div></div><div></div><div></div><div></div><div></div><div></div><div></div><div></div><div></div><div></div><div></div><div></div><div></div><div></div><div></div><div></div><div></div><div></div><div></div><div></div><div></div><div></div><div></div><div></div><div></div><div></div><div></div><div></div><div></div><div></div><div></div><div></div><div></div><div></div><div></div><div></div><div></div><div></div><div></div><div></div><div></div><div></div><div></div><div></div><div></div><div></div><div></div><div></div><div></div><div></div><div></div><div></div><div></div><div></div><div></div><div></div><div></div><div></div><div></div><div></div><div></div><div></div><div></div><div></div><div></div><div></div><div></div><div></div><div></div><div></div><div></div><div></div><div></div><div></div><div></div><div></div><div></div><div></div><div></div><div></div><div></div><div></div><div></div><div></div><div></div><div></div><div></div><div></div><div></div><div></div><div></div><div></div><div></div><div></div><div></div><div></div><div></div><div></div><div></div><div></div><div></div><div></div><div></div><div></div><div></div><div></div><div></div><div></div><div></div><div></div><div></div><div></div><div></div><div></div><div></div><div></div><div></div><div></div><div></div><div></div><div></div><div></div><div></div><div></div><div></div><div></div><div></div><div></div><div></div><div></div><div></div><div></div><div></div><div></div><div></div><div></div><div></div><div></div><div></div><div></div><div></div><div></div><div></div><div></div><div></div><div></div><div></div><div></div><div></div><div></div><div></div><div></div><div></div><div></div><div></div><div></div><div></div><div></div><div></div><div></div><div></div><div></div><div></div><div></div><div></div><div></div><div></div><div></div><div></div><div></div><div></div><div></div><div></div><div></div><div></div><div></div><div></div><div></div><div></div><div></div><div></div><div></div><div></div><div></div><div></div><div></div><div></div><div></div><div></div><div></div><div></div><div></div><div></div><div></div><div></div><div></div><div></div><div></div><div></div><div></div><div></div><div></div><div></div><div></div><div></div><div></div><div></div><div></div><div></div><div></div><div></div><div></div><div></div><div></div><div></div><div></div><div></div><div></div><div></div><div></div><div></div><div></div><div></div><div></div><div></div><div></div><div></div><div></div><div></div><div></div><div></div><div></div><div></div><div></div><div></div><div></div><div></div><div></div><div></div><div></div><div></div><div></div><div></div><div></div><div></div><div></div><div></div><div></div><div></div><div></div><div></div><div></div><div></div><div></div><div></div><div></div><div></div><div></div><div></div><div></div><div></div><div></div><div></div><div></div><div></div><div></div><div></div><div></div><div></div><div></div><div></div><div></div><div></div><div></div><div></div><div></div><div></div><div></div><div></div><div></div><div></div><div></div><div></div><div></div><div></div><div></div><div></div><div></div><div></div><div></div><div></div><div></div><div></div><div></div><div></div><div></div><div></div><div></div><div></div><div></div><div></div><div></div><div></div><div></div><div></div><div></div><div></div><div></div><div></div><div></div><div></div><div></div><div></div><div></div><div></div><div></div><div></div><div></div><div></div><div></div><div></div><div></div><div></div><div></div><div></div><div></div><div></div><div></div><div></div><div></div><div></div><div></div><div></div><div></div><div></div><div></div><div></div><div></div><div></div><div></div><div></div><div></div><div></div><div></div><div></div><div></div><div></div><div></div><div></div><div></div><div></div><div></div><div></div><div></div><div></div><div></div><div></div><div></div><div></div><div></div><div></div><div></div><div></div><div></div><div></div><div></div><div></div><div></div><div></div><div></div><div></div><div></div><div></div><div></div><div></div><div></div><div></div><div></div><div></div><div></div><div></div><div></div><div></div><div></div><div></div><div></div><div></div><div></div><div></div><div></div><div></div><div></div><div></div><div></div><div></div><div></div><div></div><div></div><div></div><div></div><div></div><div></div><div></div><div></div><div></div><div></div><div></div><div></div><div></div><div></div><div></div><div></div><div></div><div></div><div></div><div></div><div></div><div></div><div></div><div></div><div></div><div></div><div></div><div></div><div></div><div></div><div></div><div></div><div></div><div></div><div></div><div></div><div></div><div></div><div></div><div></div><div></div><div></div><div></div><div></div><div></div><div></div><div></div><div></div><div></div><div></div><div></div><div></div><div></div><div></div><div></div><div></div><div></div><div></div><div></div><div></div><div></div><div></div><div></div><div></div><div></div><div></div><div></div><div></div><div></div><div></div><div></div><div></div><div></div><div></div><div></div><div></div><div></div><div></div><div></div><div></div><div></div><div></div><div></div><div></div><div></div><div></div><div></div><div></div><div></div><div></div><div></div><div></div><div></div><div></div><div></div><div></div><div></div><div></div><div></div><div></div><div></div><div></div><div></div><div></div><div></div><div></div><div></div><div></div><div></div><div></div><div></div><div></div><div></div><div></div><div></div><div></div><div></div><div></div><div></div><div></div><div></div><div></div><div></div><div></div><div></div><div></div><div></div><div></div><div></div><div></div><div></div><div></div><div></div><div></div><div></div><div></div><div></div><div></div><div></div><div></div><div></div><div></div><div></div><div></div><div></div><div></div><div></div><div></div><div></div><div></div><div></div><div></div><div></div><div></div><div></div><div></div><div></div><div></div><div></div><div></div><div></div><div></div><div></div><div></div><div></div><div></div><div></div><div></div><div></div><div></div><div></div><div></div><div></div><div></div><div></div><div></div><div></div><div></div><div></div><div></div><div></div><div></div><div></div><div></div><div></div><div></div><div></div><div></div><div></div><div></div><div></div><div></div><div></div><div></div><div></div><div></div><div></div><div></div><div></div><div></div><div></div><div></div><div></div><div></div><div></div><div></div><div></div><div></div><div></div><div></div><div></div><div></div><div></div><div></div><div></div><div></div><div></div><div></div><div></div><div></div><div></div><div></div><div></div><div></div><div></div><div></div><div></div><div></div><div></div><div></div><div></div><div></div><div></div><div></div><div></div><div></div><div></div><div></div><div></div><div></div><div></div><div></div><div></div><div></div><div></div><div></div><div></div><div></div><div></div><div></div><div></div><div></div><div></div><div></div><div></div><div></div><div></div><div></div><div></div><div></div><div></div><div></div><div></div><div></div><div></div><div></div><div></div><div></div><div></div><div></div><div></div><div></div><div></div><div></div><div></div><div></div><div></div><div></div><div></div><div></div><div></div><div></div><div></div><div></div><div></div><div></div><div></div><div></div><div></div><div></div><div></div><div></div><div></div><div></div><div></div><div></div><div></div><div></div><div></div><div></div><div></div><div></div><div></div><div></div><div></div><div></div><div></div><div></div><div></div><div></div><div></div><div></div><div></div><div></div><div></div><div></div><div></div><div></div><div></div><div></div><div></div><div></div><div></div><div></div><div></div><div></div><div></div><div></div><div></div><div></div><div></div><div></div><div></div><div></div><div></div><div></div><div></div><div></div><div></div><div></div><div></div><div></div><div></div><div></div><div></div><div></div><div></div></div></div></div></div></div>																							

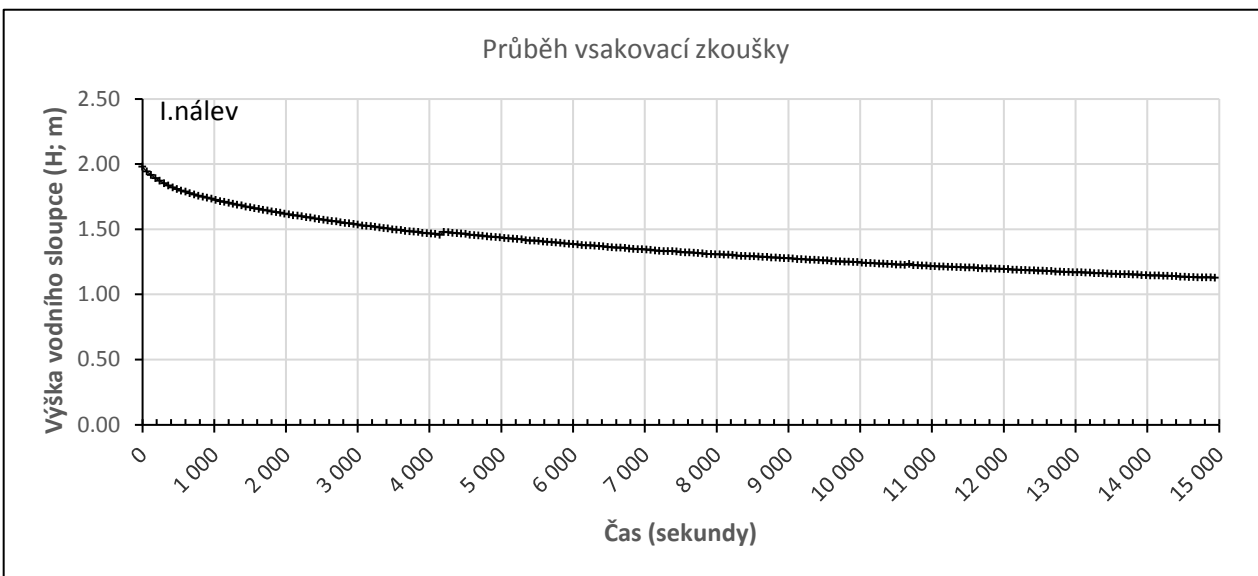
PROTOKOLY HYDRODYNAMICKÝCH ZKOUŠEK

Název zakázky:	Kladno – Ostrovec, GTP, HGP a STP		
Číslo zakázky:	2019-333	Objednatel:	METROPROJEKT Praha a.s.
Datum:	05 / 2020	Zpracoval:	Mgr. Valérie Wojnarová
Počet stran:	10	Schválil:	Mgr. Filip Dudík

Vsakovací test s proměnnou hladinou ve vrtané sondě

Označení sondy:

HJ205



Schema a geometrické parametry vsakovací sondy

		Začátek testu: 28.2.2020 8:32			
		Y (m)	l (m)	m (-)	0.30
		X (m)	OB (m)	D _a (m)	0.126
		Z _t (m n.m.)	D _v (m)	A (m ²)	0.0124
		Z _{OB} (m n.m.)	D _p (m)	C (m)	0.395
Vyhodnocení vsakovací zkoušky					
t ₀ (s)	t _x (s)	t _(i) (s)	H ₀ (m)	H _t (m)	K _{vi} (m/s)
0	14940	14940	1.980	1.128	1.16E-06
v _t pro 4.15 hodiny =			0.675	K _{vt} (m/s) = 1.16E-06	
(dle ČSN 75 9010, obr. 1, skupina V.5)				K_v (m/s) = 7.81E-07	

Použité vzorce

$$D_a = 2 \sqrt{(1-m) \left(\frac{D_p}{2}\right)^2 + m \left(\frac{D_v}{2}\right)^2}$$

$$A = \frac{\pi D_a^2}{4}$$

$$C = \pi D_a$$

$$K_{v(t,l)} = \frac{A}{Ct} \times \ln \frac{CH_0 + A}{CH_t + A}$$

$$K_v = \gamma_t \times K_{vt}$$

$$K_{vt} = \sum_{i=1}^n t_i K_{vi} / \sum_{i=1}^n t_i$$

(tj. vážený průměr při více než 1 nálevu)

Identifikace akce:

Zpracovala:

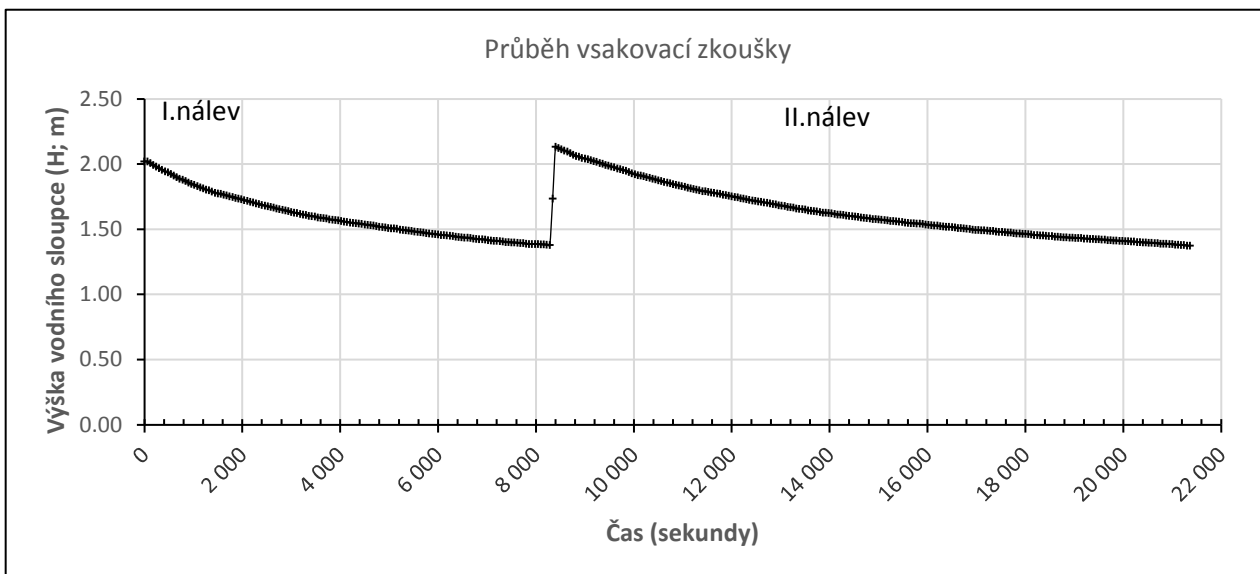
Kladno Ostrovec

Wojnarová V.

Vsakovací test s proměnnou hladinou ve vrtané sondě

Označení sondy:

HJ252



Schema a geometrické parametry vsakovací sondy

		Začátek testu: 14.2.2020 8:47			
		Y (m)	l (m)	m (-)	0.30
		X (m)	OB (m)	D _a (m)	0.126
		Z _t (m n.m.)	D _v (m)	A (m ²)	0.0124
		Z _{OB} (m n.m.)	D _p (m)	C (m)	0.395
Vyhodnocení vsakovací zkoušky					
t ₀ (s)	t _x (s)	t _(i) (s)	H ₀ (m)	H _t (m)	K _{vi} (m/s)
0	8340	8340	2.020	1.735	5.63E-07
8400	21360	12960	2.134	1.375	1.05E-06
γ _t pro 5.93 hodiny =			0.75	K _{vt} (m/s) =	8.57E-07
(dle ČSN 75 9010, obr. 1, skupina V.3/V.5)				K _v (m/s) =	6.42E-07

Použité vzorce

$$D_a = 2 \sqrt{(1-m) \left(\frac{D_p}{2}\right)^2 + m \left(\frac{D_v}{2}\right)^2}$$

$$A = \frac{\pi D_a^2}{4}$$

$$C = \pi D_a$$

$$K_{v(t,l)} = \frac{A}{Ct} \times \ln \frac{CH_0 + A}{CH_t + A}$$

$$K_v = \gamma_t \times K_{vt}$$

$$K_{vt} = \sum_{i=1}^n t_i K_{vi} / \sum_{i=1}^n t_i$$

(tj. vážený průměr při více než 1 nálevu)

Identifikace akce:

Zpracovala:

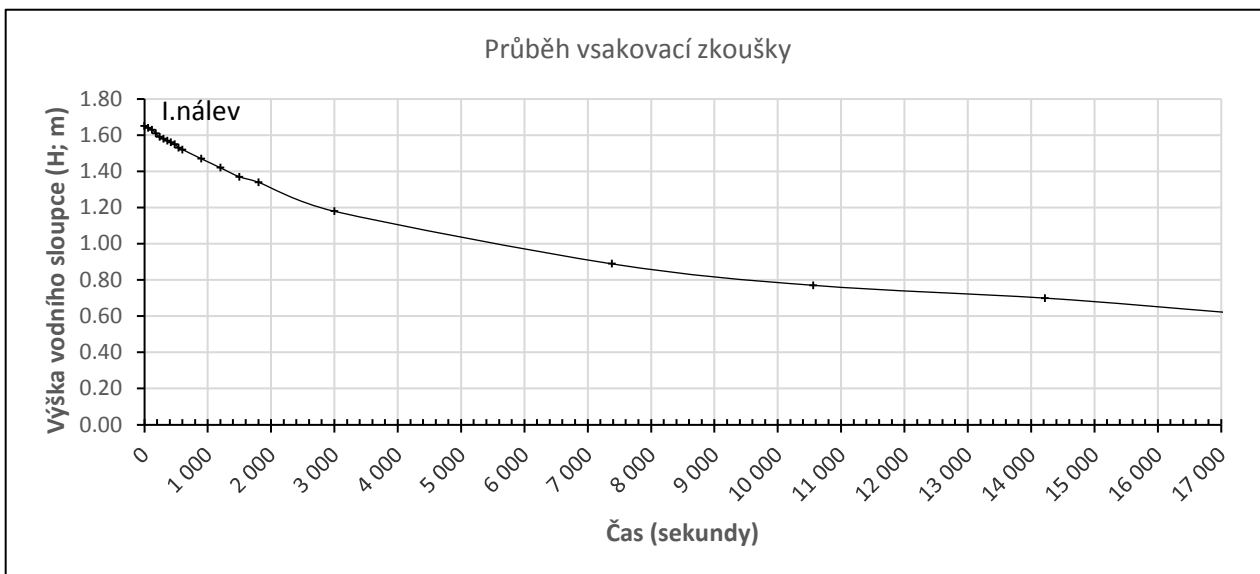
Kladno Ostrovec

Wojnarová V.

Vsakovací test s proměnnou hladinou ve vrtané sondě

Označení sondy:

HJ253



Schema a geometrické parametry vsakovací sondy

Začátek testu:

12.2.2020 8:30

Y (m)	l (m)	4.65	m (-)	0.30
X (m)	OB (m)	0.00	D _a (m)	0.126
Z _t (m n.m.)	D _v (m)	0.156	A (m ²)	0.0124
Z _{OB} (m n.m.)	D _p (m)	0.110	C (m)	0.395

Vyhodnocení vsakovací zkoušky

t ₀ (s)	t _x (s)	t _(i) (s)	H ₀ (m)	H _t (m)	K _{vi} (m/s)
0	17100	17100	1.650	0.620	1.74E-06

γ_t pro

4.75 hodiny =

0.7

K_{vt} (m/s) =

1.74E-06

(dle ČSN 75 9010, obr. 1, skupina V.5)

K_v (m/s) = **1.22E-06**

Použité vzorce

$$D_a = 2 \sqrt{(1-m) \left(\frac{D_p}{2}\right)^2 + m \left(\frac{D_v}{2}\right)^2}$$

$$A = \frac{\pi D_a^2}{4}$$

$$C = \pi D_a$$

$$K_{v(t,l)} = \frac{A}{Ct} \times \ln \frac{CH_0 + A}{CH_t + A}$$

$$K_v = \gamma_t \times K_{vt}$$

$$K_{vt} = \sum_{i=1}^n t_i K_{vi} / \sum_{i=1}^n t_i$$

(tj. vážený průměr při více než 1 nálevu)

Identifikace akce:

Zpracovala:

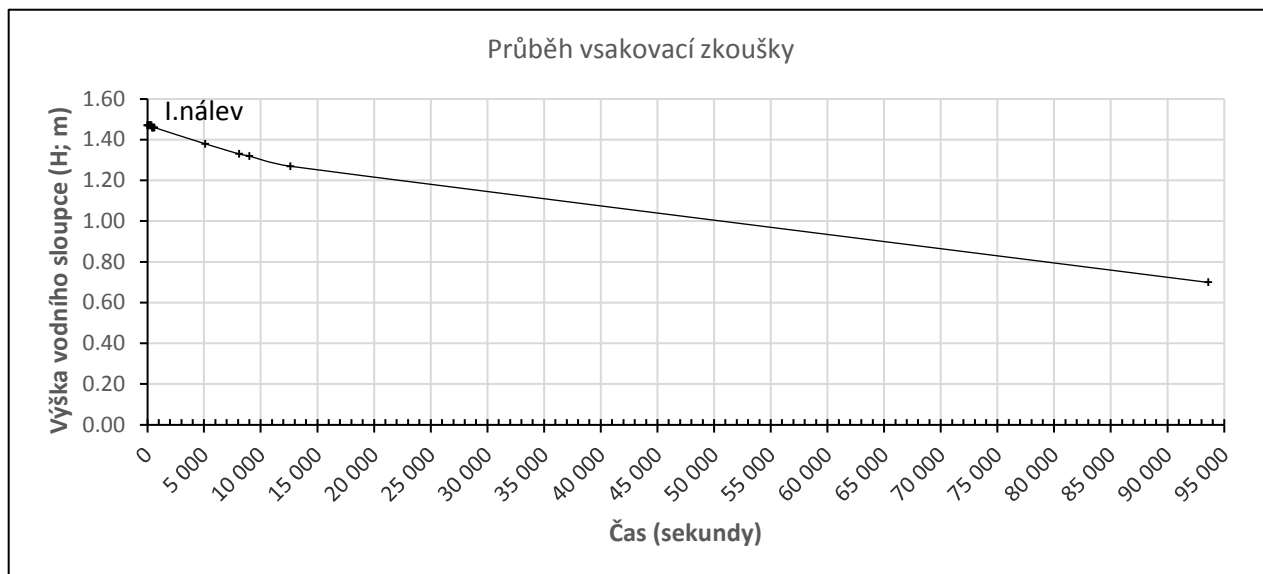
Kladno Ostrovec

Wojnarová V.

Vsakovací test s proměnnou hladinou ve vrtané sondě

Označení sondy:

HJ256



Schema a geometrické parametry vsakovací sondy

		Začátek testu: 12.2.2020 11:30			
		Y (m)	l (m)	m (-)	0.30
		X (m)	OB (m)	D _a (m)	0.126
		Z _t (m n.m.)	D _v (m)	A (m ²)	0.0124
		Z _{OB} (m n.m.)	D _p (m)	C (m)	0.395
Vyhodnocení vsakovací zkoušky					
t ₀ (s)	t _x (s)	t _(i) (s)	H ₀ (m)	H _t (m)	K _{vi} (m/s)
0	93600	93600	1.470	0.700	2.41E-07
v _t pro 26. hodiny = 1			K _{vt} (m/s) = 2.41E-07		
(dle ČSN 75 9010, obr. 1, skupina V.5)			K_v (m/s) = 2.41E-07		

Použité vzorce

$$D_a = 2 \sqrt{(1-m) \left(\frac{D_p}{2}\right)^2 + m \left(\frac{D_v}{2}\right)^2}$$

$$A = \frac{\pi D_a^2}{4}$$

$$C = \pi D_a$$

$$K_{v(t,l)} = \frac{A}{Ct} \times \ln \frac{CH_0 + A}{CH_t + A}$$

$$K_v = \gamma_t \times K_{vt}$$

$$K_{vt} = \sum_{i=1}^n t_i K_{vi} / \sum_{i=1}^n t_i$$

(tj. vážený průměr při více než 1 nálevu)

Identifikace akce:

Zpracovala:

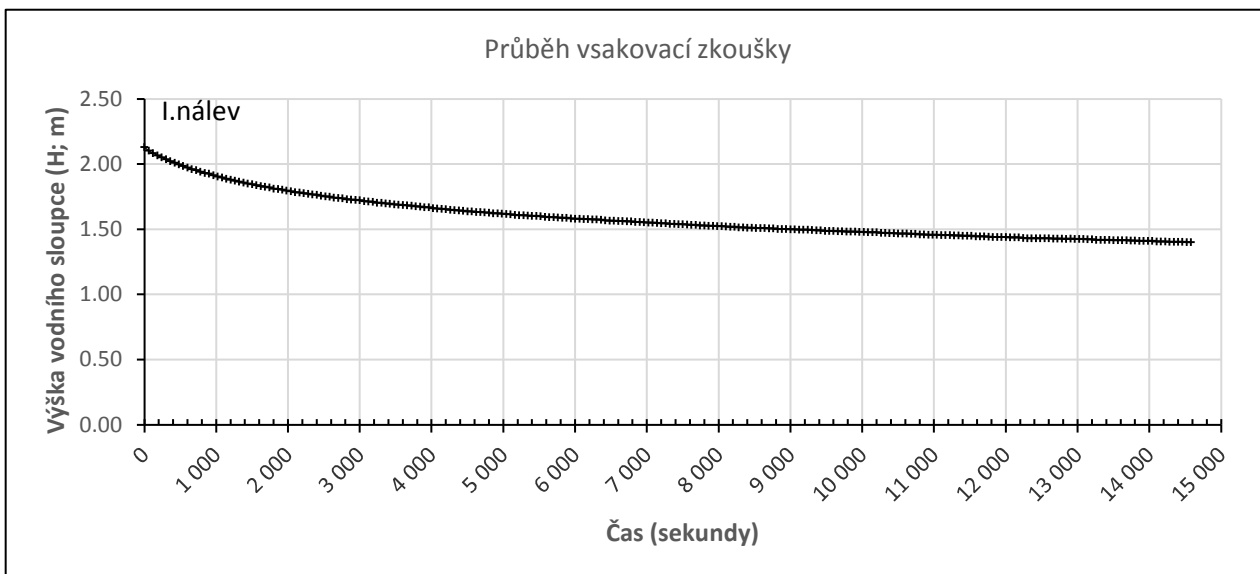
Kladno Ostrovec

Wojnarová V.

Vsakovací test s proměnnou hladinou ve vrtané sondě

Označení sondy:

HJ258



Schema a geometrické parametry vsakovací sondy

Začátek testu: 28.2.2020 9:09						
Y (m)	l (m)	7.34	m (-)	0.30		
X (m)	OB (m)	0.63	D _a (m)	0.132		
Z _t (m n.m.)	D _v (m)	0.156	A (m ²)	0.0137		
Z _{OB} (m n.m.)	D _p (m)	0.120	C (m)	0.414		
Vyhodnocení vsakovací zkoušky						
t ₀ (s)	t _x (s)	t _(i) (s)	H ₀ (m)	H _t (m)	K _{vi} (m/s)	
0	14580	14580	2.130	1.401	9.29E-07	
γ _t pro 4.05 hodiny =			0.675	K _{vt} (m/s) =		9.29E-07
(dle ČSN 75 9010, obr. 1, skupina V.3/V.5)				K_v (m/s) =		6.27E-07

Použité vzorce

$$D_a = 2 \sqrt{(1-m) \left(\frac{D_p}{2}\right)^2 + m \left(\frac{D_v}{2}\right)^2}$$

$$A = \frac{\pi D_a^2}{4}$$

$$C = \pi D_a$$

$$K_{v(t,l)} = \frac{A}{Ct} \times \ln \frac{CH_0 + A}{CH_t + A}$$

$$K_v = \gamma_t \times K_{vt}$$

$$K_{vt} = \sum_{i=1}^n t_i K_{vi} / \sum_{i=1}^n t_i$$

(tj. vážený průměr při více než 1 nálevu)

Identifikace akce:

Zpracovala:

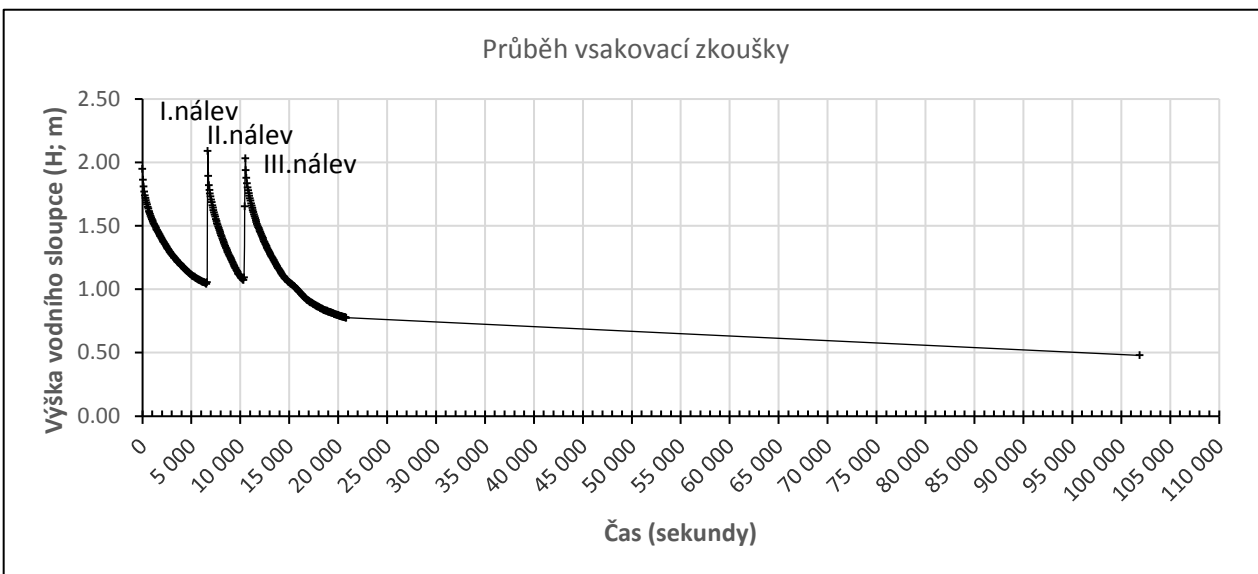
Kladno Ostrovec

Wojnarová V.

Vsakovací test s proměnnou hladinou ve vrtané sondě

Označení sondy:

HJ259



Schema a geometrické parametry vsakovací sondy

		Začátek testu: 30.1.2020 9:43			
		Y (m)	I (m)	m (-)	0.30
		X (m)	OB (m)	Da (m)	0.150
		Zt (m n.m.)	Dv (m)	A (m ²)	0.0176
		ZOB (m n.m.)	Dp (m)	C (m)	0.471
Vyhodnocení vsakovací zkoušky					
t0 (s)	tx (s)	t(i) (s)	H0 (m)	Ht (m)	Kvi (m/s)
0	6600	6600	1.950	1.056	3.39E-06
6660	10380	3720	2.091	1.095	6.36E-06
10500	101880	91380	2.031	0.480	5.68E-07
vt pro 28.3 hodiny = 1			Kvt (m/s) = 9.63E-07		
(dle ČSN 75 9010, obr. 1, skupina V.3)			Kv (m/s) = 9.63E-07		

Použité vzorce

$$D_a = 2 \sqrt{(1-m) \left(\frac{D_p}{2}\right)^2 + m \left(\frac{D_v}{2}\right)^2}$$

$$A = \frac{\pi D_a^2}{4}$$

$$C = \pi D_a$$

$$K_{v(t,i)} = \frac{A}{Ct} \times \ln \frac{CH_0 + A}{CH_t + A}$$

$$K_v = \gamma_t \times K_{vt}$$

$$K_{vt} = \sum_{i=1}^n t_i K_{vi} / \sum_{i=1}^n t_i$$

(tj. vážený průměr při více než 1 nálevu)

Identifikace akce:

Zpracovala:

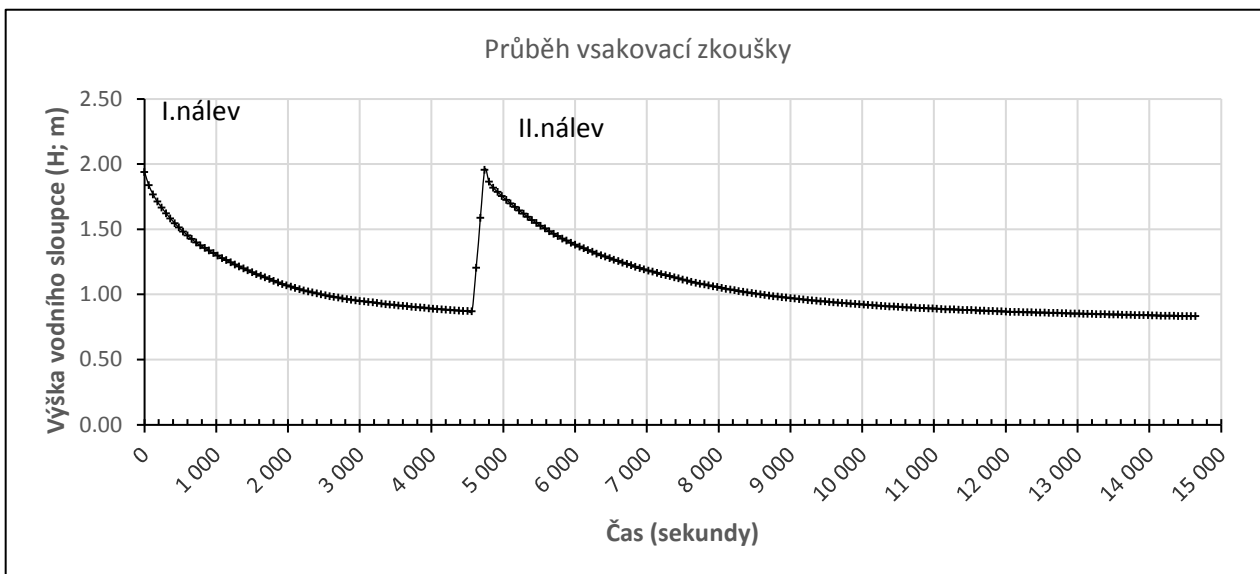
Kladno Ostrovec

Wojnarová V.

Vsakovací test s proměnnou hladinou ve vrtané sondě

Označení sondy:

HJ260



Schema a geometrické parametry vsakovací sondy

		Začátek testu: 28.2.2020 9:46			
		Y (m)	l (m)	m (-)	0.30
		X (m)	OB (m)	D _a (m)	0.126
		Z _t (m n.m.)	D _v (m)	A (m ²)	0.0124
		Z _{OB} (m n.m.)	D _p (m)	C (m)	0.395
Vyhodnocení vsakovací zkoušky					
t ₀ (s)	t _x (s)	t _(i) (s)	H ₀ (m)	H _t (m)	K _{vi} (m/s)
0	4560	4560	1.940	0.869	5.39E-06
4620	14640	10020	1.205	0.833	1.12E-06
γ _t pro 4.07 hodiny =			0.675	K _{vt} (m/s) =	2.46E-06
(dle ČSN 75 9010, obr. 1, skupina V.5)				K _v (m/s) =	1.66E-06

Použité vzorce

$$D_a = 2 \sqrt{(1-m) \left(\frac{D_p}{2}\right)^2 + m \left(\frac{D_v}{2}\right)^2}$$

$$A = \frac{\pi D_a^2}{4}$$

$$C = \pi D_a$$

$$K_{v(t,l)} = \frac{A}{Ct} \times \ln \frac{CH_0 + A}{CH_t + A}$$

$$K_v = \gamma_t \times K_{vt}$$

$$K_{vt} = \sum_{i=1}^n t_i K_{vi} / \sum_{i=1}^n t_i$$

(tj. vážený průměr při více než 1 nálevu)

Identifikace akce:

Zpracovala:

Kladno Ostrovec

Wojnarová V.